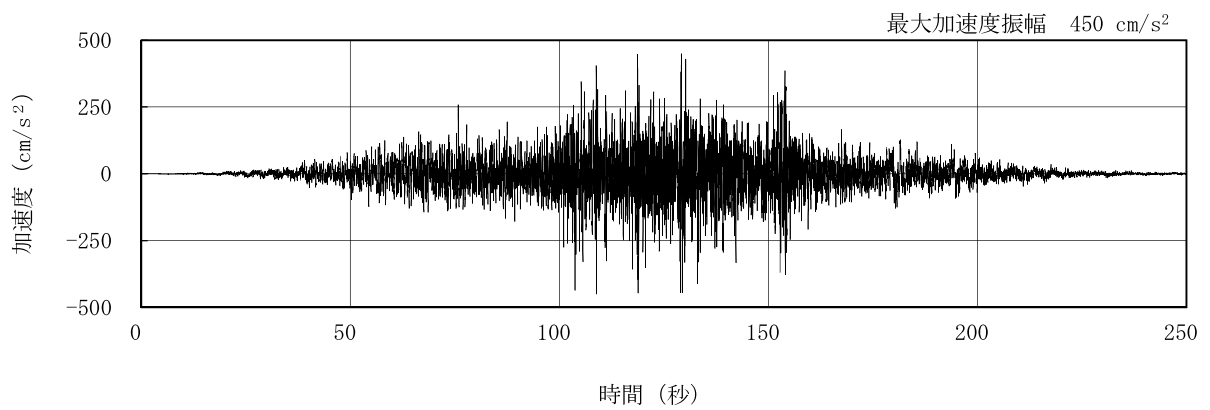
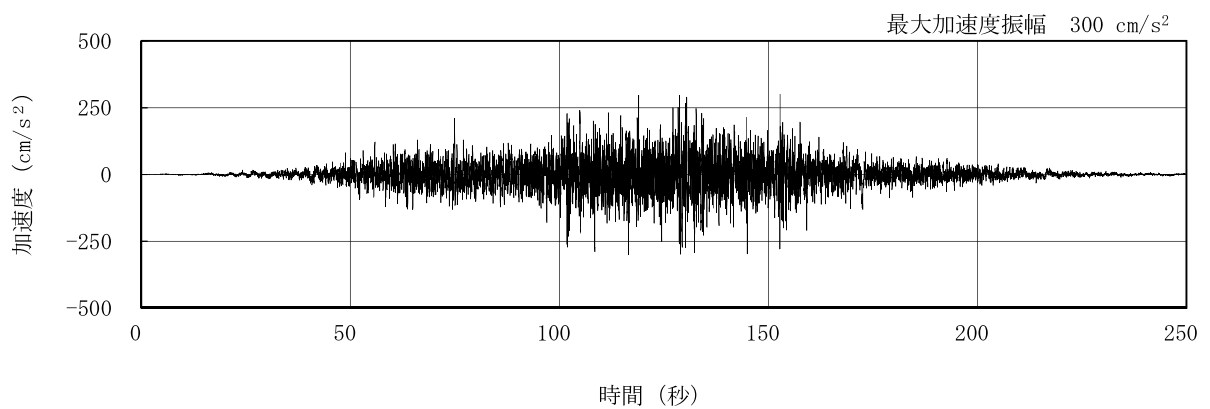


(水平)

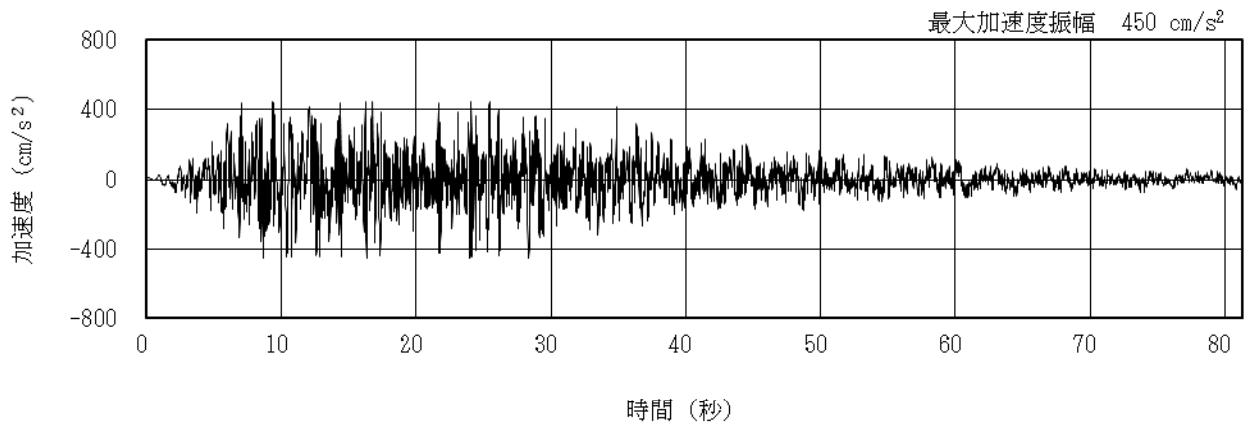


(水平, 位相の異なる模擬地震波)

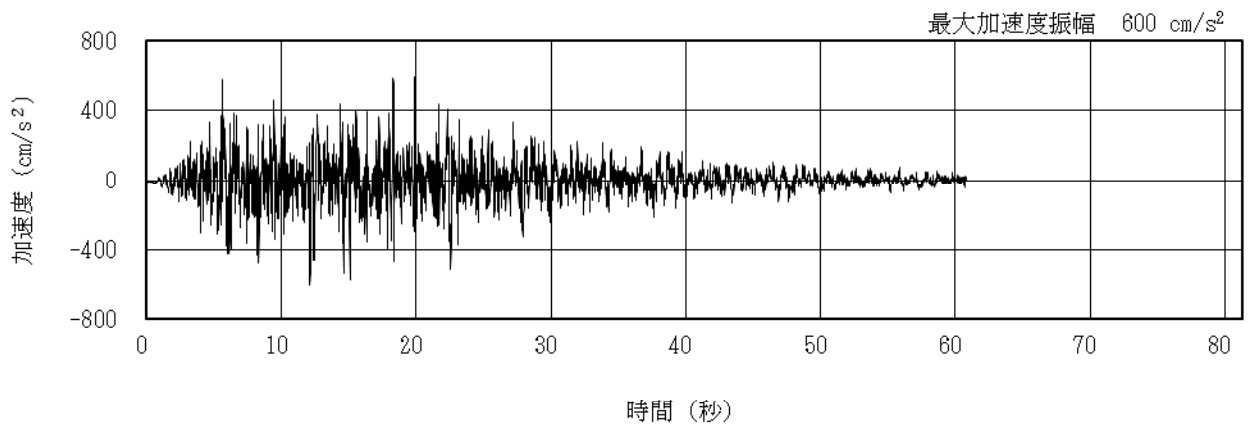


(鉛直)

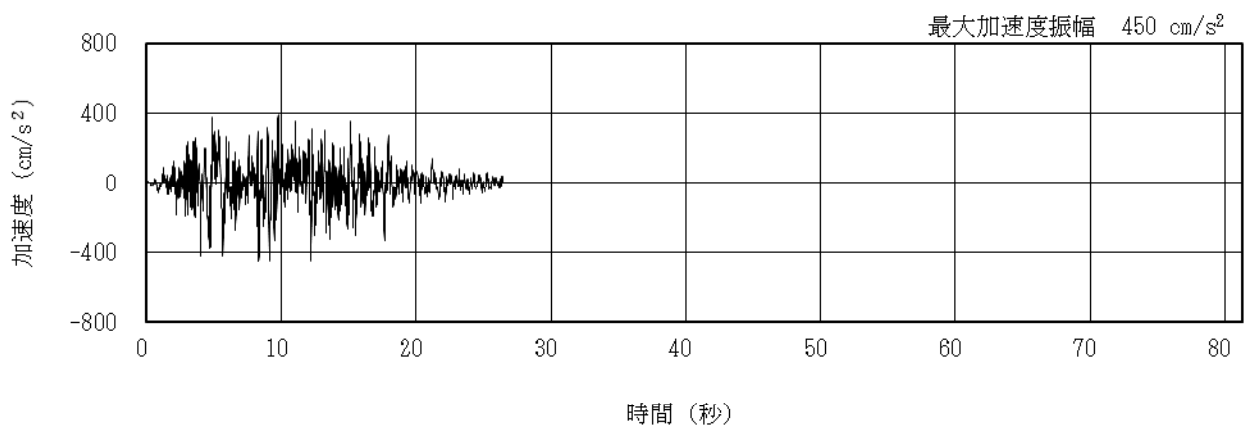
図 4.3.2-2 解放基盤表面における地震動の加速度時刻歴波形
(1/2Ss450)



(従来の Ss-1H)

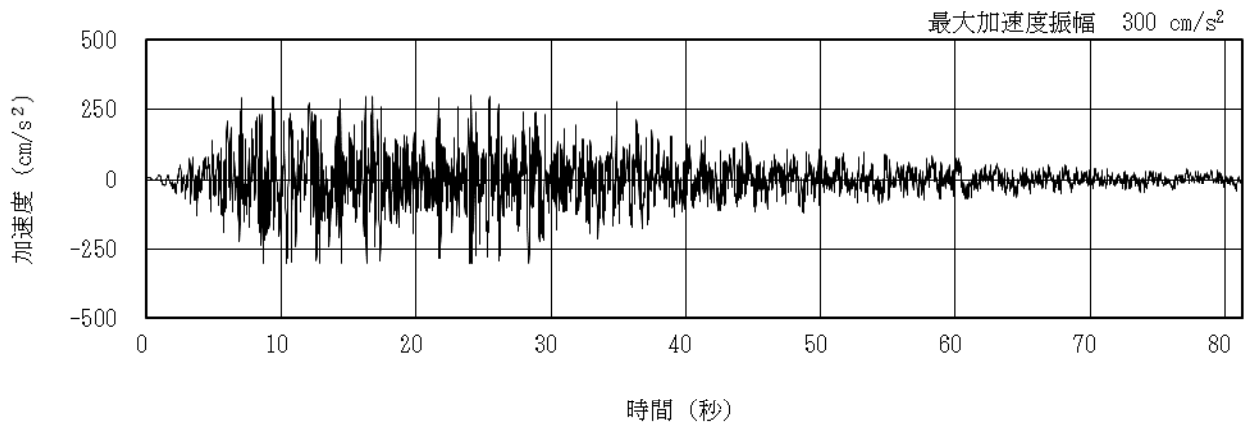


(従来の Ss-2H)

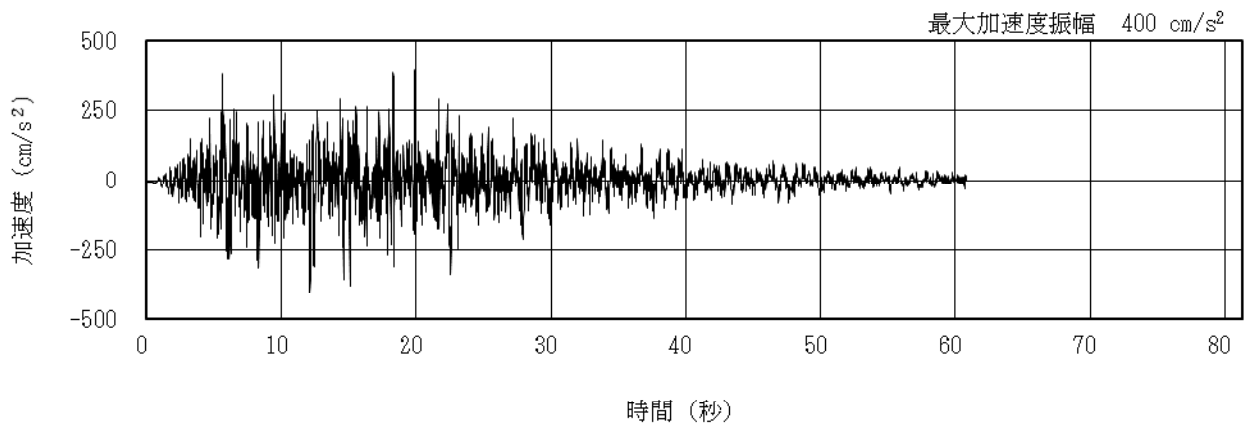


(従来の Ss-3H)

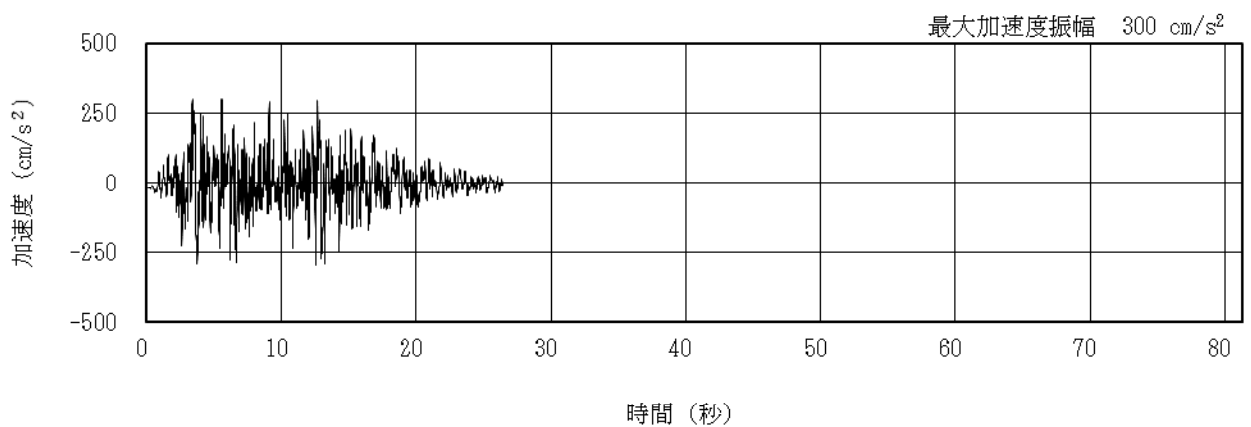
図 4.3.2-3 解放基盤表面における地震動の加速度時刻歴波形
(Ss600, 水平方向)



(従来の Ss-1V)



(従来の Ss-2V)



(従来の Ss-3V)

図 4.3.2-4 解放基盤表面における地震動の加速度時刻歴波形
(Ss600, 鉛直方向)

(2) 地震応答解析モデル

地震応答解析モデルは、曲げ、せん断剛性及び軸剛性を考慮した原子炉建屋の質点系モデルの質点に、三次元立体骨組でモデル化した燃料取り出し用構台を接続し、地盤との相互作用を考慮した建屋－地盤連成系モデルとする。原子炉建屋のモデルは「Ⅱ章 2.11 添付資料－9 別添－1 第2号機原子炉建屋西側外壁開口設置後の原子炉建屋の耐震安全性」で用いた解析モデルを基本に、南側外壁開口や遮蔽コンクリート等の設置（別冊28 P13 参照）を考慮して、重量や剛性を増減させたモデル（別冊28 P34, P35 参照）とする。なお、原子炉建屋の質点は炉心位置にモデル化する。解析モデルを図4.3.2-5及び図4.3.2-6に示す。

地震応答解析に用いる鉄骨およびオイルダンパの物性値を表4.3.2-1、表4.3.2-2に示す。燃料取り出し用構台の部材接合部の節点は機器荷重・仕上げ材等を考慮した重量とし、原子炉建屋の質点は表4.3.2-3に示す重量とする。燃料取り出し用構台の柱、梁は弾性部材の梁要素、鉛直ブレースは弾性部材のトラス要素とする。

構台と原子炉建屋南側壁間、構台鉛直面、およびランウェイガーダと原子炉建屋床間に設置するオイルダンパは、減衰要素とばね要素を直列に結合したモデルとする。ランウェイガーダと原子炉建屋床間に設置する弾性支承の鉛直方向は軸ばねとし、水平方向はローラーとする。なお、床上のオイルダンパ・弾性支承とも、圧縮専用ばねを原子炉建屋質点との間に設けることにより浮き上りを許容したモデルとする。なお、弾性支承及びバネ付きオイルダンパを含めた原子炉建屋～構台間の接続条件については、別冊28 P29, P30, 弾性支承及びバネ付きオイルダンパの設置条件および境界条件設定の妥当性については、それぞれ、別冊28 P48, 別冊28 P50, P51, 弾性支承及びバネ付きオイルダンパ下部に設置するすべり材の耐放射線性については、それぞれ別冊28 P49, 別冊28 P51 参照。また、原子炉建屋の質点系モデルは、軸方向は弾性とし、曲げとせん断に非線形特性を考慮する。

燃料取り出し用構台の地盤定数は、「福島第一原子力発電所『発電用原子炉施設に関する耐震設計審査指針』の改訂に伴う耐震安全性評価結果中間報告書」（東京電力株式会社、平成20年3月31日）を参考に、水平成層地盤と仮定し地震時のせん断ひずみレベルを考慮して定めた。改良地盤の諸元を表4.3.2-4に、非線形特性を図4.3.2-7に、地盤定数の設定結果を表4.3.2-5に示す。また、原子炉建屋の地盤定数は、1/2Ss450 に対しては上記報告書を参考に水平成層地盤と仮定し地震時のせん断ひずみレベルを考慮して定め、Ss600 に対しては上記報告書と同様として定めた。原子炉建屋の地盤定数を表4.3.2-6に示す。なお、改良地盤物性の設定及び改良地盤部の地中構築物の影響については、別冊28 P40～P42 参照。

地盤ばねは、「JEAG 4601-1991 追補版」に示されている手法を参考にして、底面地盤を成層補正し振動アドミッタンス理論によりスウェイ及びロッキングばねを、側面地盤を Novak の方法により建屋側面ばねとして評価する。なお、燃料取り出し用構台は改良地盤への埋込がほとんどないため、底面地盤ばねのみ考慮する。

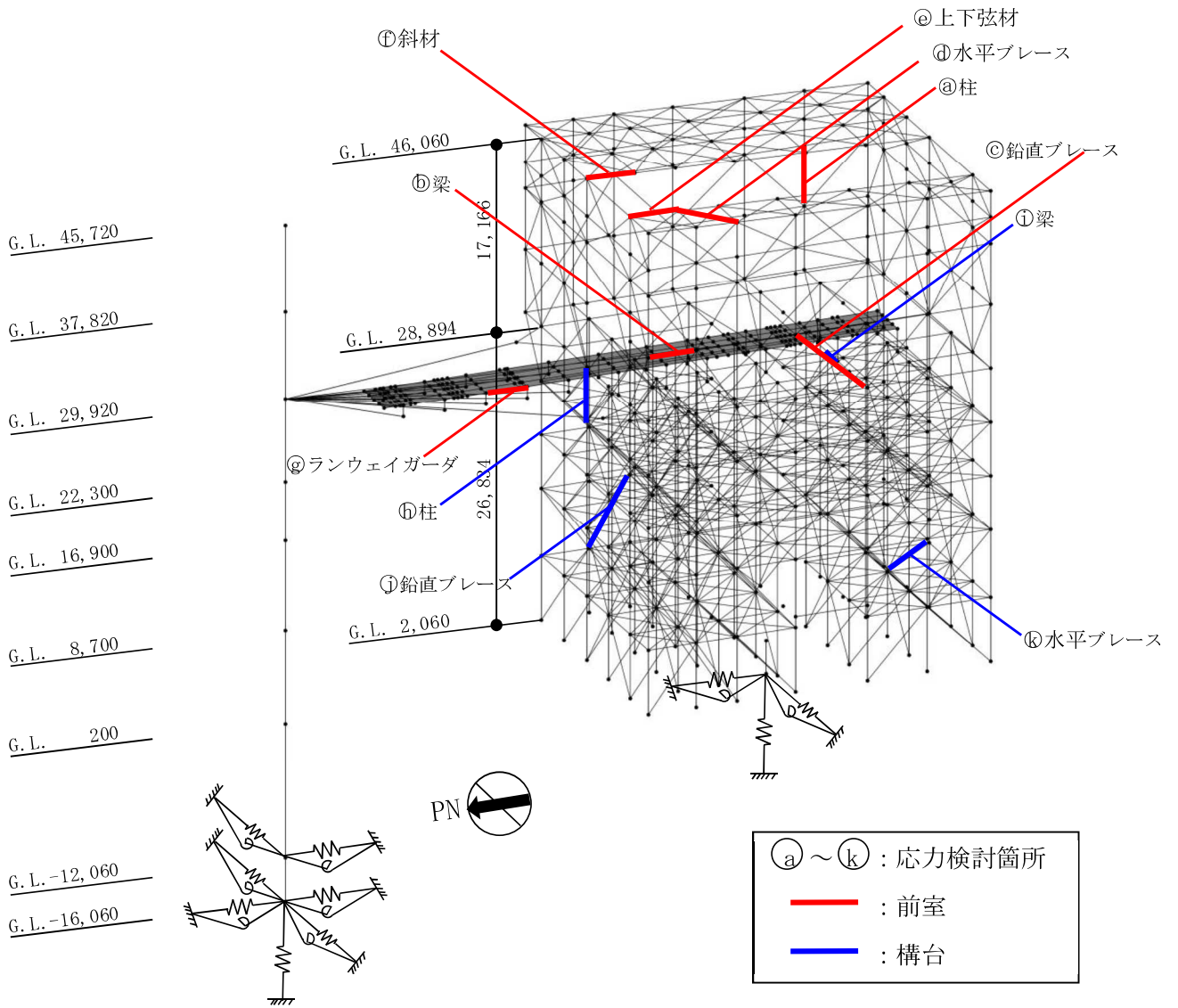


図 4.3.2-5 地震応答解析モデル (単位: mm) (1/2Ss450 応力検討箇所記載)

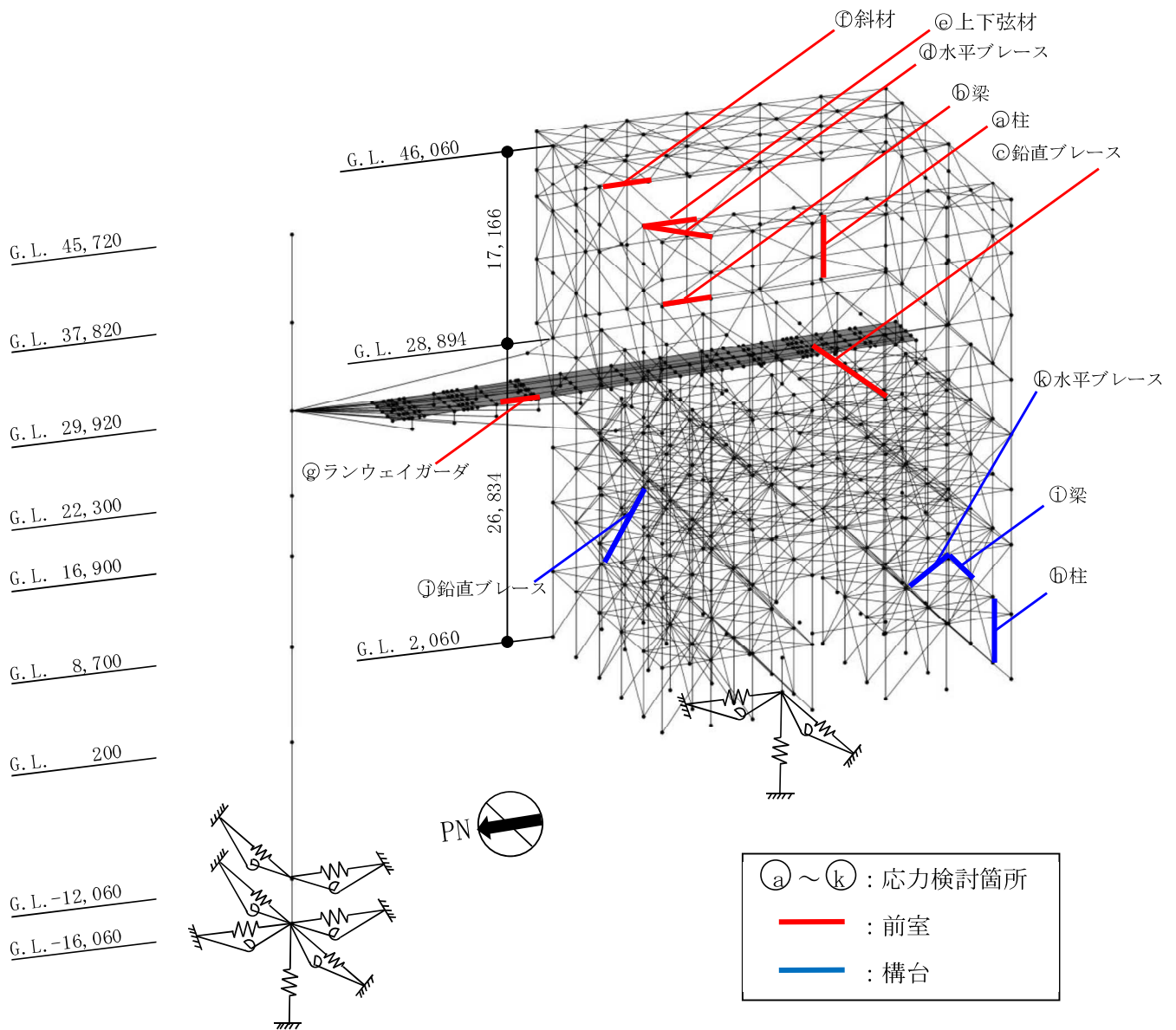


図 4.3.2-6 地震応答解析モデル (単位: mm) (Ss600 応力検討箇所記載)

表 4.3.2-1 地震応答解析に用いる物性値

部位	材料	ヤング係数 E (N/mm ²)	ポアソン比 ν	単位体積重量 γ (kN/m ³)	減衰定数 h (%)	備考
燃料取り出し用構台	鉄骨	2.05×10^5	0.3	77.0	2	SS400, SM490A, SN490B, SN490C, STK490, TMCP325

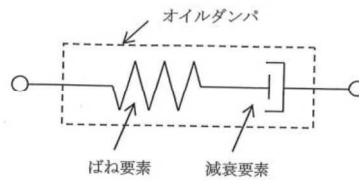
表 4.3.2-2 オイルダンパの物性値及び許容値

オイルダンパ（水平棟間）

オイルダンパ	最大減衰力 (kN)	リリーフ荷重 (kN)	最大速度 (m/s)	第一減衰係数 (kN・s/m)	第二減衰係数 (kN・s/m)	ストローク (mm)
	1970	1700	0.7	12000	490	±100

オイルダンパ（鉛直）

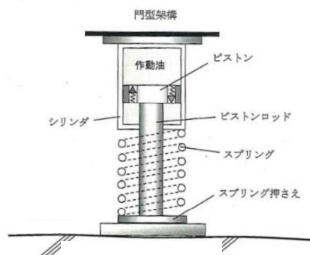
オイルダンパ	最大減衰力 (kN)	リリーフ荷重 (kN)	最大速度 (m/s)	第一減衰係数 (kN・s/m)	第二減衰係数 (kN・s/m)	ストローク (mm)
	2060	1600	0.5	40000	1000	±60



オイルダンパのモデル化

ばね付きオイルダンパ

ばね付き オイルダンパ	最大減衰力 (kN)	リリーフ荷重 (kN)	最大速度 (m/s)	第一減衰係数 (kN・s/m)	第二減衰係数 (kN・s/m)	ストローク (mm)
	1500	1200	1.0	5000	395	±100



ばね付きオイルダンパ概念図

表 4. 3. 2-3(1) 地震応答解析モデルのうち原子炉建屋の地震応答解析モデルの諸元

(a) 水平 (NS) 方向

標高 G.L. (m)	質点重量 W (kN)	回転慣性重量 $I_G (\times 10^5 \text{ kN}\cdot\text{m}^2)$	せん断断面積 $A_S (\text{m}^2)$	断面二次モーメント I (m^4)
45.72	12880	23.28		
			18.6	10154
37.82	10220	18.53		
			16.1	10626
29.92	74470	134.76		
			184.3	22551
22.3	79440	143.78		
			166.8	24629
16.9	107720	194.96		
			249.3	44401
8.7	116670	211.14		
			157.1	40661
0.2	201190	364.11		
			456.8	110444
-12.06	341290	617.55		
			2656.2	480675
-16.06	125030	226.24		
合計	1068910			
		ヤング係数 E_c	$2.57 \times 10^7 (\text{kN}/\text{m}^2)$	
		せん断弾性係数 G	$1.07 \times 10^7 (\text{kN}/\text{m}^2)$	
		ポアソン比 ν	0.20	
		減衰 h	5%	

表 4. 3. 2-3(2) 地震応答解析モデルのうち原子炉建屋の地震応答解析モデルの諸元

(b)水平 (EW) 方向

標高 G.L. (m)	質点重量 W (kN)	回転慣性重量 $I_G (\times 10^5 \text{ kN}\cdot\text{m}^2)$	せん断断面積 $A_S (\text{m}^2)$	断面二次モーメント I (m^4)
45.72	12880	13.18		
			13.6	5926
37.82	10220	10.40		
			12.6	6255
29.92	74470	76.06		
			108.2	11927
22.3	79440	81.06		
			117.3	14199
16.9	107720	194.96		
			185.7	33796
8.7	116670	211.14		
			173.1	41960
0.2	201190	544.79		
			418.1	132121
-12.06	341290	923.98		
			2656.2	719166
-16.06	125030	338.53		
合計	1068910			
		ヤング係数 E_c	$2.57 \times 10^7 (\text{kN}/\text{m}^2)$	
		せん断弾性係数 G	$1.07 \times 10^7 (\text{kN}/\text{m}^2)$	
		ポアソン比 ν	0.20	
		減衰 h	5%	

表 4. 3. 2-3(3) 地震応答解析モデルのうち原子炉建屋の地震応答解析モデルの諸元

(c) 鉛直方向

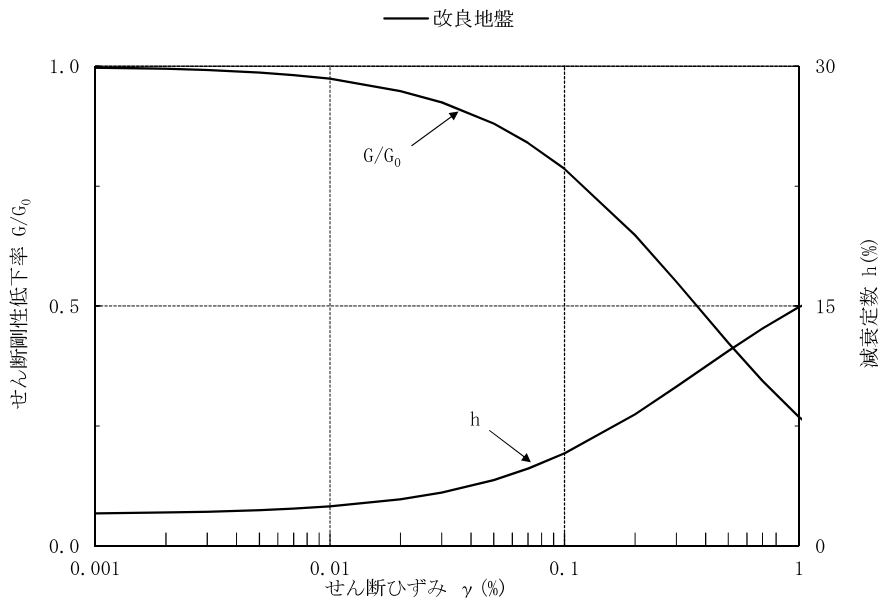
標高 G. L. (m)	質点重量 W (kN)	軸断面積 A_N (m ²)	軸ばね剛性 K_A ($\times 10^8$ kN/m)
45.72	12880		
		43.0	1.40
37.82	10220		
		42.5	1.38
29.92	74470		
		291.9	9.84
22.3	79440		
		295.1	14.04
16.9	107720		
		437.5	13.71
8.7	116670		
		359.4	10.87
0.2	201190		
		627.4	13.15
-12.06	341290		
		2656.2	170.66
-16.06	125030		
合計	1068910		

ヤング係数 E_c 2.57×10^7 (kN/m²)
 せん断弾性係数 G 1.07×10^7 (kN/m²)
 ポアソン比 ν 0.20
 減衰 h 5%

表 4.3.2-4 改良地盤の諸元

せん断波速度*	単位体積重量	ポアソン比*	初期せん断弾性係数
V_s (m/s)	γ (kN/m ³)	ν	G_0 ($\times 10^5$ kN/m ²)
800	17.7	0.31	11.52

*: 『柏崎刈羽原子力発電所 1 号機 建物・構築物の耐震安全性評価について (指摘事項に関する回答)』 (東京電力株式会社, 平成 22 年 2 月 19 日, 総合資源エネルギー調査会原子力安全・保安部会耐震・構造設計小委員会構造 WG (第 46 回) 会合資料)



*: 『柏崎刈羽原子力発電所 1 号機 建物・構築物の耐震安全性評価について (指摘事項に関する回答)』 (東京電力株式会社, 平成 22 年 2 月 19 日, 総合資源エネルギー調査会原子力安全・保安部会耐震・構造設計小委員会構造 WG (第 46 回) 会合資料)

図 4.3.2-7 改良地盤の非線形特性

表 4.3.2-5(1) 地盤定数の設定結果 (燃料取り出し用構台)

(a) 1/2Ss450

標高 G.L. (m)	地質	せん断波 速度 Vs (m/s)	単位体積 重量 γ (kN/m ³)	ポアソン 比 ν	せん断 弾性係数 G ($\times 10^5$ kN/m ²)	初期せん断 弾性係数 G ₀ ($\times 10^5$ kN/m ²)	剛性 低下率 G/G ₀	ヤング 係数 E ($\times 10^5$ kN/m ²)	減衰 定数 h (%)	層厚 H (m)
0.0	改良地盤									
-8.1		800	17.7	0.310	11.40	11.52	0.99	29.87	2	8.1
-20.0	泥岩	450	16.5	0.464	2.73	3.41	0.80	7.99	3	11.9
-90.0		500	17.1	0.455	3.49	4.36	0.80	10.16	3	70.0
-118.0		560	17.6	0.446	4.50	5.63	0.80	13.01	3	28.0
-206.0		600	17.8	0.442	5.22	6.53	0.80	15.05	3	88.0
-206.0	(解放基盤)	700	18.5	0.421	9.24	9.24	-	-	-	-

表 4. 3. 2-5(2) 地盤定数の設定結果 (燃料取り出し用構台)

(b) 従来の Ss-1

標高 G. L. (m)	地質	せん断波 速度 Vs (m/s)	単位体積 重量 γ (kN/m ³)	ポアソン 比 ν	せん断 弾性係数 G (×10 ⁵ kN/m ²)	初期せん断 弾性係数 G ₀ (×10 ⁵ kN/m ²)	剛性 低下率 G/G ₀	ヤング 係数 E (×10 ⁵ kN/m ²)	減衰 定数 h (%)	層厚 H (m)
0.0	改良地盤									
-8.1		800	17.7	0.310	11.40	11.52	0.99	29.87	2	8.1
-20.0	泥岩	450	16.5	0.464	2.66	3.41	0.78	7.79	3	11.9
-90.0		500	17.1	0.455	3.40	4.36	0.78	9.89	3	70.0
-118.0		560	17.6	0.446	4.39	5.63	0.78	12.70	3	28.0
-206.0		600	17.8	0.442	5.09	6.53	0.78	14.68	3	88.0
-206.0	(解放基盤)	700	18.5	0.421	9.24	9.24	1.00	26.26	-	-

(c) 従来の Ss-2

標高 G. L. (m)	地質	せん断波 速度 Vs (m/s)	単位体積 重量 γ (kN/m ³)	ポアソン 比 ν	せん断 弾性係数 G (×10 ⁵ kN/m ²)	初期せん断 弾性係数 G ₀ (×10 ⁵ kN/m ²)	剛性 低下率 G/G ₀	ヤング 係数 E (×10 ⁵ kN/m ²)	減衰 定数 h (%)	層厚 H (m)
0.0	改良地盤									
-8.1		800	17.7	0.310	11.40	11.52	0.99	29.87	2	8.1
-20.0	泥岩	450	16.5	0.464	2.73	3.41	0.80	7.99	3	11.9
-90.0		500	17.1	0.455	3.49	4.36	0.80	10.16	3	70.0
-118.0		560	17.6	0.446	4.50	5.63	0.80	13.01	3	28.0
-206.0		600	17.8	0.442	5.22	6.53	0.80	15.05	3	88.0
-206.0	(解放基盤)	700	18.5	0.421	9.24	9.24	1.00	26.26	-	-

(d) 従来の Ss-3

標高 G. L. (m)	地質	せん断波 速度 Vs (m/s)	単位体積 重量 γ (kN/m ³)	ポアソン 比 ν	せん断 弾性係数 G (×10 ⁵ kN/m ²)	初期せん断 弾性係数 G ₀ (×10 ⁵ kN/m ²)	剛性 低下率 G/G ₀	ヤング 係数 E (×10 ⁵ kN/m ²)	減衰 定数 h (%)	層厚 H (m)
0.0	改良地盤									
-8.1		800	17.7	0.310	11.40	11.52	0.99	29.87	2	8.1
-20.0	泥岩	450	16.5	0.464	2.63	3.41	0.77	7.70	3	11.9
-90.0		500	17.1	0.455	3.36	4.36	0.77	9.78	3	70.0
-118.0		560	17.6	0.446	4.34	5.63	0.77	12.55	3	28.0
-206.0		600	17.8	0.442	5.03	6.53	0.77	14.51	3	88.0
-206.0	(解放基盤)	700	18.5	0.421	9.24	9.24	1.00	26.26	-	-

表 4.3.2-6(1) 地盤定数の設定結果 (原子炉建屋)

(a) 1/2Ss450

標高 G.L. (m)	地質	せん断波 速度 Vs (m/s)	単位体積 重量 γ (kN/m ³)	ポアソン 比 ν	せん断 弾性係数 G ($\times 10^5$ kN/m ²)	初期せん断 弾性係数 G ₀ ($\times 10^5$ kN/m ²)	剛性 低下率 G/G ₀	ヤング 係数 E ($\times 10^5$ kN/m ²)	減衰 定数 h (%)	層厚 H (m)
0.0	砂岩									
-8.1		380	17.8	0.473	2.23	2.62	0.85	6.57	3	8.1
-20.0	泥岩	450	16.5	0.464	2.73	3.41	0.80	7.99	3	11.9
-90.0		500	17.1	0.455	3.49	4.36	0.80	10.16	3	70.0
-118.0		560	17.6	0.446	4.50	5.63	0.80	13.01	3	28.0
-206.0		600	17.8	0.442	5.22	6.53	0.80	15.05	3	88.0
-206.0	(解放基盤)	700	18.5	0.421	9.24	9.24	-	-	-	-

表 4. 3. 2-6(2) 地盤定数の設定結果 (原子炉建屋)

(b) 従来の Ss-1

標高 G. L. (m)	地質	せん断波 速度 Vs (m/s)	単位体積 重量 γ (kN/m ³)	ポアソン 比 ν	せん断 弾性係数 G (×10 ⁵ kN/m ²)	初期せん断 弾性係数 G ₀ (×10 ⁵ kN/m ²)	剛性 低下率 G/G ₀	ヤング 係数 E (×10 ⁵ kN/m ²)	減衰 定数 h (%)	層厚 H (m)
0.0	砂岩	380	17.8	0.473	2.23	2.62	0.85	6.57	3	8.1
-8.1		450	16.5	0.464	2.66	3.41	0.78	7.79	3	11.9
-20.0	泥岩	500	17.1	0.455	3.40	4.36	0.78	9.89	3	70.0
-90.0		560	17.6	0.446	4.39	5.63	0.78	12.70	3	28.0
-118.0		600	17.8	0.442	5.09	6.53	0.78	14.68	3	88.0
-206.0		(解放基盤)	700	18.5	0.421	9.24	9.24	1.00	26.26	-

(c) 従来の Ss-2

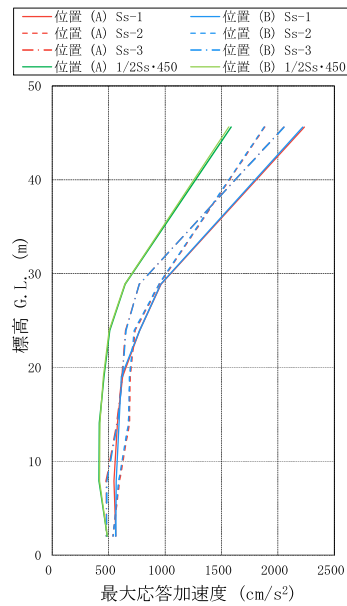
標高 G. L. (m)	地質	せん断波 速度 Vs (m/s)	単位体積 重量 γ (kN/m ³)	ポアソン 比 ν	せん断 弾性係数 G (×10 ⁵ kN/m ²)	初期せん断 弾性係数 G ₀ (×10 ⁵ kN/m ²)	剛性 低下率 G/G ₀	ヤング 係数 E (×10 ⁵ kN/m ²)	減衰 定数 h (%)	層厚 H (m)
0.0	砂岩	380	17.8	0.473	2.23	2.62	0.85	6.57	3	8.1
-8.1		450	16.5	0.464	2.76	3.41	0.81	8.08	3	11.9
-20.0	泥岩	500	17.1	0.455	3.53	4.36	0.81	10.27	3	70.0
-90.0		560	17.6	0.446	4.56	5.63	0.81	13.19	3	28.0
-118.0		600	17.8	0.442	5.29	6.53	0.81	15.26	3	88.0
-206.0		(解放基盤)	700	18.5	0.421	9.24	9.24	1.00	26.26	-

(d) 従来の Ss-3

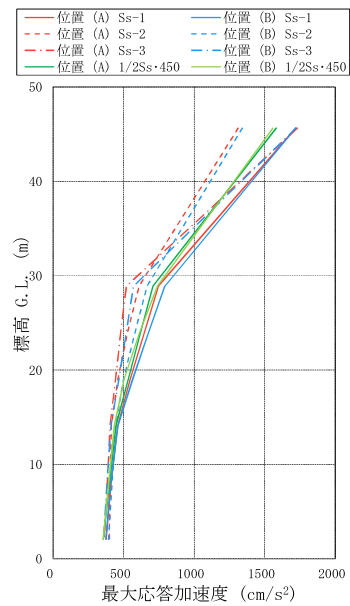
標高 G. L. (m)	地質	せん断波 速度 Vs (m/s)	単位体積 重量 γ (kN/m ³)	ポアソン 比 ν	せん断 弾性係数 G (×10 ⁵ kN/m ²)	初期せん断 弾性係数 G ₀ (×10 ⁵ kN/m ²)	剛性 低下率 G/G ₀	ヤング 係数 E (×10 ⁵ kN/m ²)	減衰 定数 h (%)	層厚 H (m)
0.0	砂岩	380	17.8	0.473	2.25	2.62	0.86	6.63	3	8.1
-8.1		450	16.5	0.464	2.66	3.41	0.78	7.79	3	11.9
-20.0	泥岩	500	17.1	0.455	3.40	4.36	0.78	9.89	3	70.0
-90.0		560	17.6	0.446	4.39	5.63	0.78	12.70	3	28.0
-118.0		600	17.8	0.442	5.09	6.53	0.78	14.68	3	88.0
-206.0		(解放基盤)	700	18.5	0.421	9.24	9.24	1.00	26.26	-

(3) 地震応答解析結果

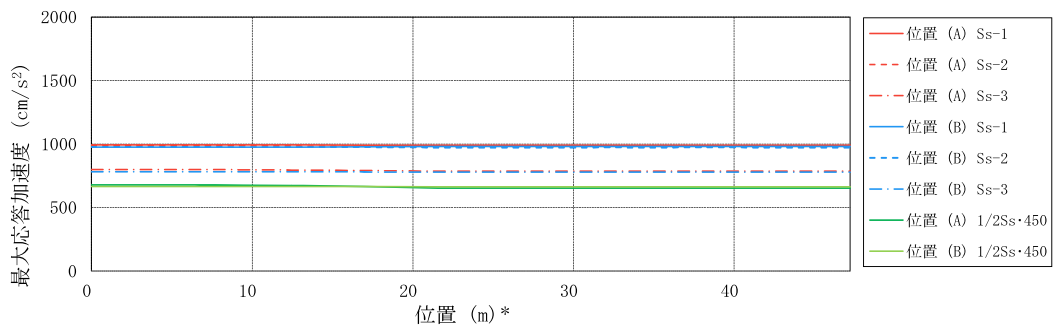
最大応答加速度分布を図 4.3.2-8(1) 及び図 4.3.2-8(2) に示す。



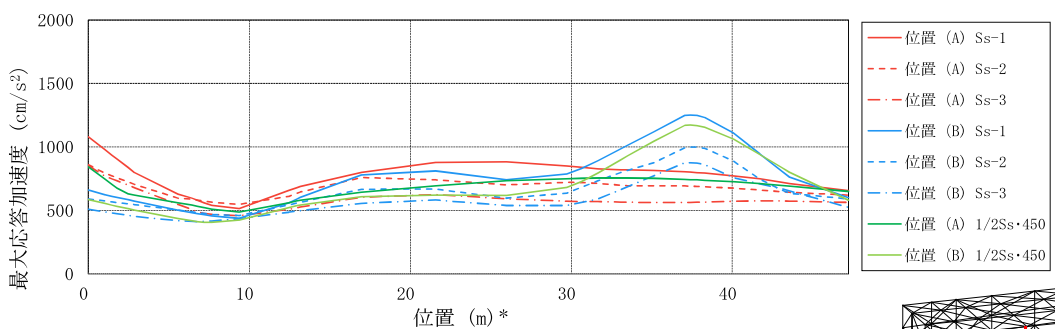
(a) 水平(NS)成分 (構台+前室)



(b) 鉛直成分 (構台+前室)



(c) 水平(NS)成分 (ランウェイガーダ)



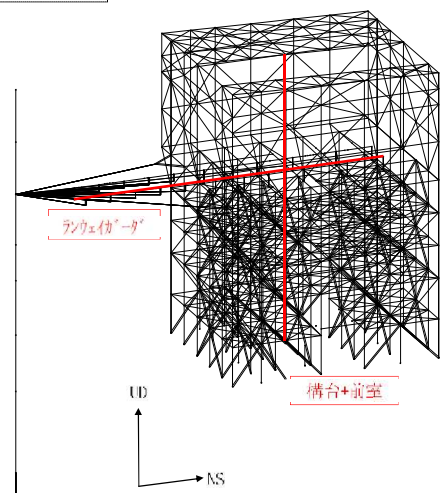
(d) 鉛直成分 (ランウェイガーダ)

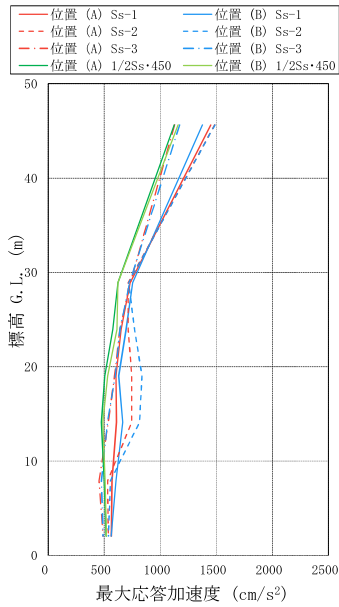
注：凡例位置の条件は表 4.2.1-4 に示す

*：位置は原子炉建屋側の先端からの距離を示す

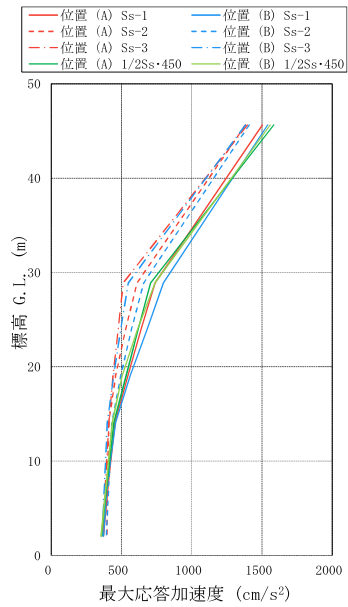
図 4.3.2-8(1) 最大応答加速度分布

(Ss600 : NS 及び UD 方向加力時, 1/2Ss450 : 3 方向加力時)

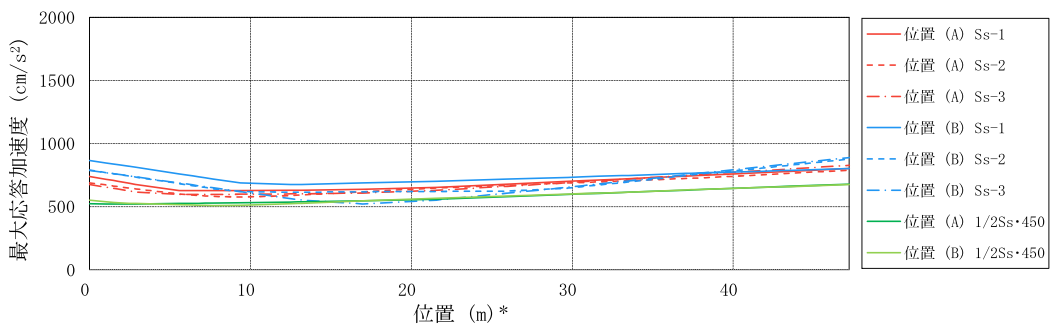




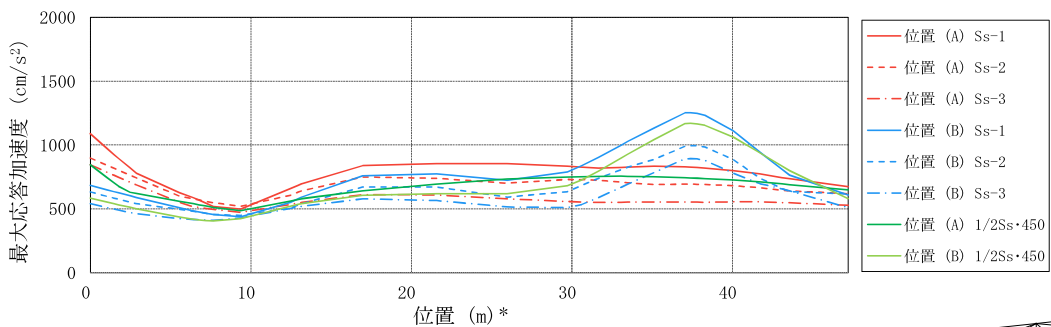
(a) 水平(EW)成分 (構台+前室)



(b) 鉛直成分 (構台+前室)



(c) 水平(EW)成分 (ランウェイガーダ)

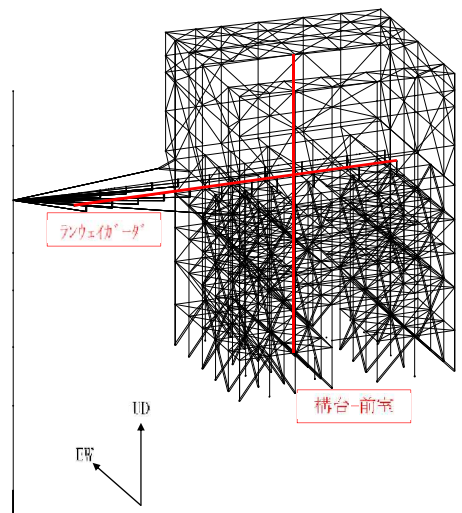


(d) 鉛直成分 (ランウェイガーダ)

注：凡例位置の条件は表 4.2.1-4 に示す

*：位置は原子炉建屋側の先端からの距離を示す

図 4.3.2-8(2) 最大応答加速度分布
(Ss600 : EW 及び UD 方向加力時, 1/2Ss450 : 3 方向加力時)



(4) 波及的影響の評価

地震応答解析結果が、JSCA 性能メニュー（社団法人日本建築構造技術者協会，2018 年）を参考に定めたクライテリア（「層間変形角は 1/75 以下，層の塑性率は 4 以下，部材の塑性率は 5 以下」* 及びせん断力はせん断耐力以下）を満足することを確認する。

なお，解析結果が「時刻歴応答解析建築物性能評価業務方法書」（財団法人日本建築センター，平成 19 年 7 月 20 日）に示されるクライテリア（層間変形角は 1/100 以下，層の塑性率は 2 以下，部材の塑性率は 4 以下）を超える場合には水平変形に伴う鉛直荷重の付加的影響を考慮した解析を実施し，安全性を確認する。

*：北村春幸，宮内洋二，浦本弥樹「性能設計における耐震性能判断基準値に関する研究」，日本建築学会構造系論文集，第 604 号，2006 年 6 月

1) 層間変形角の検討

最大応答層間変形角を表 4.3.2-7 に示す。

検討の結果，最大応答層間変形角は 1/75 以下となりクライテリアを満足することを確認した。

表 4.3.2-7(1) 最大応答層間変形角の検討結果 (1/2Ss450)

検討箇所	地震波	入力方向 (位置)*	最大応答値	クライテリア	判定
前室	1/2Ss450	NS (A)	1/604	1/75	O. K.
		EW (B)	1/624	1/75	O. K.
構台		NS (B)	1/741	1/75	O. K.
		EW (B)	1/386	1/75	O. K.

*：()内は，燃料取扱設備の位置を示す。(表 4.2.1-4 参照)

表 4.3.2-7(2) 最大応答層間変形角の検討結果 (Ss600)

検討箇所	地震波	入力方向 (位置)*	最大応答値	クライテリア	判定
前室	従来の Ss-1	NS (A)	1/431	1/75	O. K.
		EW (A)	1/484	1/75	O. K.
	従来の Ss-2	NS (A)	1/433	1/75	O. K.
		EW (A)	1/472	1/75	O. K.
	従来の Ss-3	NS (B)	1/442	1/75	O. K.
		EW (A)	1/551	1/75	O. K.
構台	従来の Ss-1	NS (B)	1/443	1/75	O. K.
		EW (B)	1/320	1/75	O. K.
	従来の Ss-2	NS (B)	1/461	1/75	O. K.
		EW (B)	1/280	1/75	O. K.
	従来の Ss-3	NS (A)	1/591	1/75	O. K.
		EW (B)	1/262	1/75	O. K.

*：()内は，燃料取扱設備の位置を示す。(表 4.2.1-4 参照)

2) 断面検討

部材の応答結果が塑性していないため、断面検討結果を応力度比で示す。部材の応力度比は、2方向の曲げ、軸力及びせん断力の各最大応力と各許容応力度との比を組み合わせた値で表される。表 4.3.2-8 に断面検討結果を示す。なお、各許容応力度、引張耐力及び座屈耐力算定時の材料強度は「平成 12 年建設省告示第 2464 号」に定められた基準強度 F 値の 1.1 倍を用いる。

表 4.3.2-8 より全てのケースで応力度比が 1 以下になり、クライテリアを満足することを確認した。

表 4.3.2-8(1) 断面検討結果 (前室) (1/2Ss450)

部 位 ^{*1}	部材形状 (mm) <使用材料>	燃料取扱 設備位置 ^{*2}	作用応力度 (N/mm ²)		許容応力度 (N/mm ²)		応力度比	判定	
			σ_c	σ_{bz}	f_c	f_{bz}			
前 室	㊸柱 H-700×300 ×14×28 <SM490A>	A	σ_c	24.2	f_c	310	0.71	O. K.	
			σ_{by}	180.8	f_{by}	313			
			σ_{bz}	17.9	f_{bz}	357			
			τ	3.0	f_s	205			
	㊹梁 H-390×300 ×10×16 <SM490A>	B	σ_t	3.8	f_t	357	0.70	O. K.	
			σ_{by}	0.0	f_{by}	273			
			σ_{bz}	243.8	f_{bz}	357			
			τ	4.2	f_s	205			
	㊺鉛直 ブレース	ϕ -355.6×9.5 <STK490>	B	σ_c	128.8	f_c	279	0.47	O. K.
	㊻水平 ブレース	2[s-150×75×9 ×12.5 <SS400>	B	σ_t	129.7	f_t	258	0.51	O. K.
	㊼屋根トラ ス上下弦材	H-300×300×16 ×16 <SM490A>	B	σ_c	169.2	f_c	316	0.66	O. K.
				σ_{bz}	43.7	f_{bz}	357		
				τ	0.7	f_s	205		
	㊽屋根トラ ス斜材	2[s-150×75× 6.5×10 <SS400>	A	σ_c	117.1	f_c	239	0.49	O. K.
㊾ランウェ イガーダ	□-1500×900× (80+40)×80 <SN490B>	A	σ_c	20.4	f_c	323	0.29	O. K.	
			σ_b	69.8	f_b	323			
			τ	12.5	f_s	186			

*1 : ㊸～㊾の符号は図 4.3.2-5 の応力検討箇所を示す

*2 : 表 4.2.1-4 参照

表 4.3.2-8(2) 断面検討結果 (構台) (1/2Ss450)

部 位*1		部材形状 (mm) 〈使用材料〉	燃料取扱 設備位置*2	作用応力度 (N/mm ²)		許容応力度 (N/mm ²)		応力度比	判定
構 台	㊦柱	(X)H-1500×400 ×16×32 (Y)H- 700×350 ×16×32 〈SM490A〉	B	σ_c	41.6	f_c	348	0.83	O.K.
				σ_{by}	120.5	f_{by}	303		
				σ_{bz}	108.5	f_{bz}	357		
				τ	12.8	f_s	205		
	㊦梁	H-800×350 ×19×36 〈SM490A〉	B	σ_c	0.1	f_c	342	0.69	O.K.
				σ_{by}	152.4	f_{by}	339		
				σ_{bz}	0.7	f_{bz}	357		
				τ	106.1	f_s	205		
	㊦鉛直 ブレース	ϕ -406.4×9.5 〈STK490〉	B	σ_c	137.7	f_c	294	0.47	O.K.
	㊦水平 ブレース	[-180×75×7× 10.5 〈SS400〉	B	σ_t	36.1	f_t	258	0.14	O.K.

*1：㊦～㊦の符号は図 4.3.2-5 の応力検討箇所を示す

*2：表 4.2.1-4 参照

表 4.3.2-8(3) 断面検討結果（前室）（Ss600）

部 位*1		部材形状(mm) 〈使用材料〉	荷重ケース (位置)*2	作用応力度 (N/mm ²)		許容応力度 (N/mm ²)		応力度比	判定
前 室	㊸柱	H-700×300 ×14×28 〈SM490A〉	従来の Ss-1 -EW+UD (A)	σ_c	13.7	f_c	310	0.82	O. K.
				σ_{by}	223.5	f_{by}	298		
				σ_{bz}	3.6	f_{bz}	357		
				τ	27.6	f_s	205		
	㊹梁	H-390×300 ×10×16 〈SM490A〉	従来の Ss-1 +EW-UD (B)	σ_t	6.8	f_t	357	0.91	O. K.
				σ_{by}	0.0	f_{by}	273		
				σ_{bz}	314.6	f_{bz}	357		
				τ	5.5	f_s	205		
	㊺鉛直 ブレース	ϕ -355.6×9.5 〈STK490〉	従来の Ss-2 +NS+UD (A)	σ_c	199.6	f_c	279	0.72	O. K.
	㊻水平 ブレース	2[s-200×90×8 ×13.5 〈SS400〉	従来の Ss-1 +EW-UD (B)	σ_t	178.7	f_t	258	0.70	O. K.
	㊼屋根トラ ス上下弦材	H-300×300×16 ×16 〈SM490A〉	従来の Ss-1 +NS-UD (B)	σ_c	221.0	f_c	316	0.80	O. K.
				σ_{bz}	33.3	f_{bz}	357		
τ				0.5	f_s	205			
㊽屋根トラ ス斜材	2[s-150×75× 6.5×10 〈SS400〉	従来の Ss-1 -NS+UD (B)	σ_c	148.7	f_c	239	0.63	O. K.	
㊾ランウェ イガード	□-1500×900× (80+40)×80 〈SN490B〉	従来の Ss-1 +NS-UD と +EW-UD と の包絡 (A)	σ_c	24.2	f_c	323	0.35	O. K.	
			σ_b	85.4	f_b	323			
			τ	14.9	f_s	186			

*1：㊸～㊾の符号は図 4.3.2-6 の応力検討箇所を示す

*2：()内は、燃料取扱設備の位置を示す。(表 4.2.1-4 参照)

表 4. 3. 2-8(4) 断面検討結果（構台）（Ss600）

部 位 ^{*1}		部材形状(mm) 〈使用材料〉	荷重ケース (位置) ^{*2}	作用応力度 (N/mm ²)		許容応力度 (N/mm ²)		応力度比	判定
構 台	㊦柱	(X)H-700×300 ×36×36 (Y)H-700×350 ×36×40 〈SM490A〉	従来の Ss-3 +EW-UD (B)	σ_c	43.4	f_c	343	0.91	O. K.
				σ_{by}	246.2	f_{by}	337		
				σ_{bz}	17.1	f_{bz}	357		
				τ	18.8	f_s	205		
	㊦梁	H-750×350 ×40×40 〈SM490A〉	従来の Ss-3 +EW-UD (B)	σ_c	24.1	f_c	350	0.87	O. K.
				σ_{by}	265.9	f_{by}	352		
				σ_{bz}	5.0	f_{bz}	357		
				τ	41.5	f_s	205		
	㊦鉛直 ブレース	ϕ -406.4×9.5 〈STK490〉	従来の Ss-1 +NS-UD (B)	σ_c	214.2	f_c	294	0.73	O. K.
	㊦水平 ブレース	[-180×75×7× 10.5 〈SS400〉	従来の Ss-3 -EW+UD (B)	σ_t	63.3	f_t	258	0.25	O. K.

*1：㊦～㊦の符号は図 4. 3. 2-6 の応力検討箇所を示す

*2：()内は、燃料取扱設備の位置を示す。(表 4. 2. 1-4 参照)

4.3.3 弾性支承の耐震性に対する検討

弾性支承に作用する圧縮力による面圧が、圧縮限界強度以下となることを確認する。圧縮限界強度はゴム材料の弾性係数に応じて製品が規定する数値である。

検討の結果、最大圧縮面圧が圧縮限界強度以下となることを確認した。

表 4.3.3-1(1) 弾性支承の耐震性に対する検討結果 (1/2Ss450)

設置位置	燃料取扱設備位置*	圧縮限界強度 σ_v (N/mm ²)	最大圧縮面圧 σ_D (N/mm ²)	σ_D/σ_v	判定
西側	A	43.00	8.80	0.21	O. K.
東側	A	43.00	8.86	0.21	O. K.

* : 表 4.2.1-4 参照

表 4.3.3-1(2) 弾性支承の耐震性に対する検討結果 (Ss600)

設置位置	荷重ケース (位置)*	圧縮限界強度 σ_v (N/mm ²)	最大圧縮面圧 σ_D (N/mm ²)	σ_D/σ_v	判定
西側	従来の Ss-1 +NS-UD (A)	43.00	10.83	0.26	O. K.
東側	従来の Ss-1 +NS-UD (A)	43.00	10.83	0.26	O. K.

* : ()内は、燃料取扱設備の位置を示す。(表 4.2.1-4 参照)

4.3.4 オイルダンパの耐震性に対する検討

各部位で用いられるオイルダンパの耐震性に対する検討は、地震応答解析における最大応答値が許容値以下であることを確認する。

表 4.3.4-1 に最大応答値と許容値を比較した結果を示す。

検討の結果、全てのオイルダンパで最大応答値が許容値以下になることを確認した。

表 4.3.4-1(1) オイルダンパの検討結果 (1/2Ss450)

種類	検討項目	燃料取扱設備位置*	最大応答値	許容値	判定
オイルダンパ (水平棟間)	変位 (mm)	A	40	±100	O. K.
	速度 (m/s)	A	0.42	0.70	O. K.
オイルダンパ (鉛直)	変位 (mm)	B	13	±60	O. K.
	速度 (m/s)	B	0.07	0.50	O. K.
ばね付き オイルダンパ	変位 (mm)	A	14	±100	O. K.
	速度 (m/s)	A	0.10	1.00	O. K.

* : 表 4.2.1-4 参照

表 4.3.4-1(2) オイルダンパの検討結果 (Ss600)

種類	検討項目	荷重ケース (位置)*	最大応答値	許容値	判定
オイルダンパ (水平棟間)	変位 (mm)	従来の Ss-1 NS (B)	50	±100	O. K.
	速度 (m/s)	従来の Ss-2 NS (B)	0.54	0.70	O. K.
オイルダンパ (鉛直)	変位 (mm)	従来の Ss-3 EW (B)	18	±60	O. K.
	速度 (m/s)	従来の Ss-1 NS (B)	0.16	0.50	O. K.
ばね付き オイルダンパ	変位 (mm)	従来の Ss-1 NS (A)	18	±100	O. K.
	速度 (m/s)	従来の Ss-1 NS (A)	0.14	1.00	O. K.

* : ()内は、燃料取扱設備の位置を示す。(表 4.2.1-4 参照)

4.3.5 1/2Ss450 と Ss600 の応答結果の比較検討

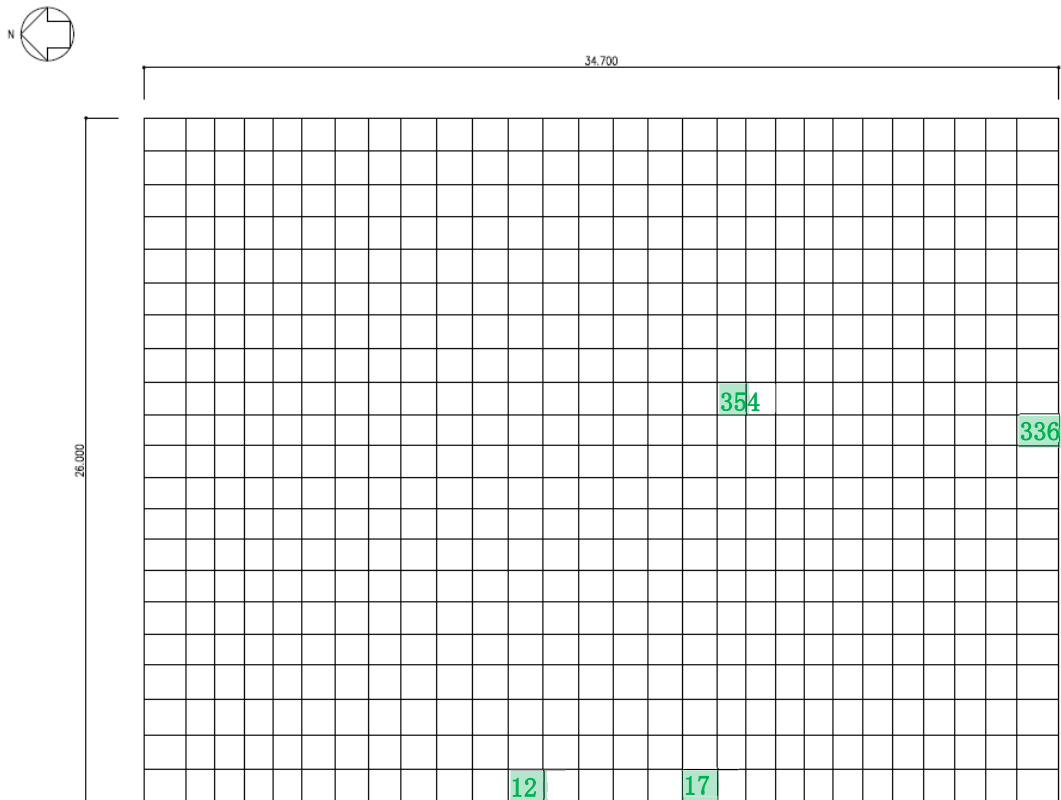
前述の通り，最大応答層間変形角，部材の断面検討結果，弾性支承の最大圧縮面圧およびオイルダンパの最大応答の全てにおいて，1/2Ss450 評価結果が Ss600 評価結果を下回り，1/2Ss450 を適用した場合の影響が十分小さいことを確認した。（別冊 2 8 P97～P103 参照）

4.3.6 基礎の耐震性に対する検討

(1) 解析モデル

基礎の応力解析は、弾性地盤上に支持された版として有限要素法を用いて行う。解析モデルは、図 4.3.6-1 に示すように四辺形の均質等方な板要素により構成し、支持地盤は等価な弾性ばねとしてモデル化する。但し、浮き上がった場合は、ばねの剛性が 0 となる。

なお、前述の通り 1/2Ss450 を適用した場合の影響が十分小さいことを確認したことから、Ss600 での検討結果を記載する。



凡例 #### : Ss600 時断面算定要素 (数字は要素番号)

図 4.3.6-1 基礎モデル(Ss600 時)

(2) 断面検討

組合せた応力より、各要素の必要鉄筋比を「原子力施設鉄筋コンクリート構造計算規準・同解説」より求め、設計配筋が必要鉄筋比を上回ること及び面外せん断力が許容せん断力以下であることを確認する。必要鉄筋比が最大となる要素と設計面外せん断力と許容せん断力との比が最大になる要素の断面検討結果を表 4.3.6-1 に示す。なお、各許容応力度、引張耐力及び座屈耐力算定時の材料強度は「平成 12 年建設省告示第 2464 号」に定められた基準強度 F 値の 1.1 倍を用いる。

断面検討の結果、設計配筋は必要鉄筋比を上回り、面外せん断力は許容せん断力以下であることを確認した。

表 4.3.6-1 断面検討結果

要素番号	方向	荷重ケース (位置)*1	設計応力		N/(b・D) ^{*2} (×10 ⁻² N/mm ²)	M/(b・D ²) (×10 ⁻² N/mm ²)	Pt (%)	設計配筋 (pt:%) (pt:%)	設計面外 せん断力 Q (kN/m)	許容せん断力 f _s ・b・j (kN/m)	判定
			N*2 (kN/m)	M (kN・m/m)							
12	NS	従来のSS-1 +NS-UD (A)	382.3	11137.8	0.127	1.238	0.378	上段：上端筋 2-D38@200 下段：下端筋 3-D38@200	542.8	2616	O. K.
336	EW	従来のSS-3 +EW-UD (B)	702.3	8453.6	0.234	0.939	0.261	2-D38@200 2-D38@200	513.9	2663	O. K.
17	NS	従来のSS-1 +NS-UD (A)	485.8	3585.9	0.162	0.398	0.099	2-D38@200 2-D38@200	2048.4	2663	O. K.
354	EW	従来のSS-2 -EW+UD (B)	700.2	4994.3	0.233	0.555	0.139	2-D38@200 2-D38@200	1806.0	2663	O. K.

*1：()内は、燃料取扱設備の位置を示す。(表 4.2.1-4 参照)

*2：圧縮を正とする。

4.3.7 改良地盤の耐震性に対する検討

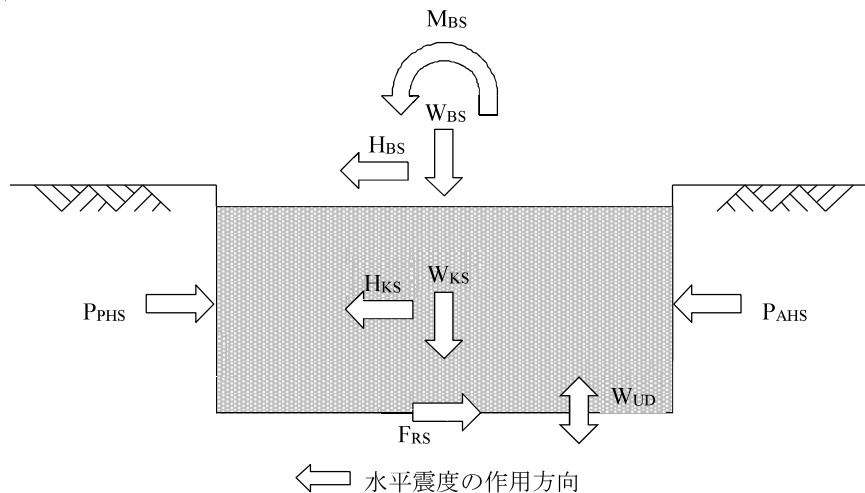
(1) 検討方針

検討は「JEAC 4616-2009」に準拠し、地震により発生する荷重に対して許容限界を満足することを確認する。改良地盤の許容限界は、改良地盤の設計圧縮強度、せん断抵抗に対する安全率に基づき設定する。支持地盤の許容限界は、支持地盤の極限支持力に対する安全率に基づき設定する。

なお、前述の通り 1/2Ss450 を適用した場合の影響が十分小さいことを確認したことから、Ss600 での検討結果を記載する。

(2) 地震時に対する検討

地震時において、改良地盤底面の最大接地圧及びせん断応力が、改良地盤の短期許容応力以下であることを確認する。図 4.3.7-1 に作用荷重を示す。



- W_{BS} : 燃料取り出し用構台荷重
- W_{KS} : 改良地盤の自重
- H_{BS} : 燃料取り出し用構台による水平力
- M_{BS} : 燃料取り出し用構台による改良地盤底面における
転倒モーメント
- H_{KS} : 改良地盤の慣性力
- P_{AHS} : 地震時主働土圧による水平力
- P_{PHS} : 地震時受働土圧による水平力
- F_{RS} : 支持地盤のせん断抵抗力
- W_{UD} : 上下動による鉛直応力

図 4.3.7-1 作用荷重 (Ss600 時)

改良地盤の荷重負担範囲は、基礎底盤における矩形断面部分を対象とした面積 $A=902.2\text{m}^2$ 、断面係数 $Z_x=3909\text{m}^3$ 、 $Z_y=5217\text{m}^3$ として算定する。改良地盤底面の最大接地圧 (q_{1s}) 及び最大せん断応力 (τ_{\max}) は下式にて求める。

$$\begin{aligned} \text{鉛直力の合計} & \quad \Sigma W = W_{BS} + W_{KS} \\ \text{水平力の合計} & \quad \Sigma H_x = H_{BS} + H_{KS} + P_{AHS} + P_{PHS} \quad (\text{NS 方向}) \\ & \quad \Sigma H_y = H_{BS} + H_{KS} + P_{AHS} + P_{PHS} \quad (\text{EW 方向}) \\ \text{転倒モーメントの合計} & \quad \Sigma M_x = M_{BS} + M_{KS} + M_{AHS} + M_{PHS} \quad (\text{X 軸回り:EW 方向加力}) \\ & \quad \Sigma M_y = M_{BS} + M_{KS} + M_{AHS} + M_{PHS} \quad (\text{Y 軸回り:NS 方向加力}) \end{aligned}$$

ここに、 M_{KS} : 改良地盤の転倒モーメント
 M_{AHS} : 地震時主働土圧による転倒モーメント
 M_{PHS} : 地震時受働土圧による転倒モーメント

$$\begin{aligned} \text{改良地盤底面の最大接地圧} & \quad q_{2SX+} = \Sigma W/A + \Sigma M_y/Z_y + W_{UD}/A \\ & \quad q_{2SX-} = \Sigma W/A + \Sigma M_y/Z_y - W_{UD}/A \\ & \quad q_{2SY+} = \Sigma W/A + \Sigma M_x/Z_x + W_{UD}/A \\ & \quad q_{2SY-} = \Sigma W/A + \Sigma M_x/Z_x - W_{UD}/A \end{aligned}$$

ここに、 W_{UD} : 上下動による鉛直応力

(3) 波及的影響の評価

改良地盤の評価は、「JEAC 4616-2009」に準じ、改良地盤に発生する最大応力が許容値に対して 1.5以上の安全率を有していることを確認する。

1) 改良地盤に生じる鉛直応力に対する検討結果

改良地盤に作用する鉛直応力に対し改良地盤の圧縮強度の安全率が 1.5 以上であることを確認する。

$$\frac{ssf_{sc}}{\sigma_{y\max}} \geq 1.5$$

ここで、 ssf_{sc} : 改良地盤の圧縮強度
 $\sigma_{y\max}$: 有限要素解析による各要素の鉛直応力の最大値

改良地盤の圧縮強度 (ssf_{sc}) は、「JEAC 4616-2009」により改良地盤の圧縮強度の平均値である設計圧縮強度 5000 kN/m^2 とし、断面欠損を考慮した場合 4900 kN/m^2 とする。

安全率の検討結果を表 4.3.7-1 に示す。検討結果より改良地盤の圧縮強度は改良地盤の基礎スラブ直下における最大鉛直応力の 1.5 以上の安全率を有していることを確認した。

表 4.3.7-1 改良地盤の鉛直応力に対する検討結果

方向	最大鉛直応力 $\sigma_{y\max}$ (kN/m ²)	最大鉛直応力 発生地震波	圧縮強度 ssf_{sc} (kN/m ²)	安全率	クライテリア	判定
NS	761	従来の Ss-1	4900	6.43	1.50	OK
EW	793	従来の Ss-2	4900	6.17	1.50	OK

2) 改良地盤に作用するせん断力に対する検討

検討は、改良地盤の基礎直下及び改良地盤下端のせん断力について行う。改良地盤上端及び下端にせん断面を想定し、せん断に対する安全率 $F_s(t)$ が 1.5 以上であることを確認する。

$$F_s(t) = \frac{F_R(t)}{F_H(t)} \geq 1.5$$

ここで、
 $F_s(t)$: せん断に対する安全率
 $F_R(t)$: せん断面上の地盤の水平抵抗力 (kN)
 $F_H(t)$: せん断面上の地盤のせん断力 (kN)
 ssf_{ss} : 改良地盤のせん断強度 (kN/m²)

改良地盤のせん断強度 (ssf_{ss}) は下式より設定する。

$$ssf_{ss} = \frac{1}{5} ssf_{sc}$$

ここで、 ssf_{ss} : 1000 kN/m²

断面欠損を考慮し

ssf_{ss} : 750 kN/m²

安全率の検討結果を表 4.3.7-2, 表 4.3.7-3 に示す。

検討結果より改良地盤の水平抵抗力は、改良地盤の基礎直下及び改良地盤下端の最大せん断力の 1.5 以上の安全率を有していることを確認した。

表 4.3.7-2 改良地盤のせん断力に対する検討結果 (基礎下端)

方向	最大せん断力 発生地震波	最大せん断力 F _H (kN)	水平抵抗力 F _R (kN)	安全率 F _S	クライテリア	判定
NS	従来の Ss-2	56816	676650	11.90	1.50	OK
EW	従来の Ss-1	55076	676650	12.28	1.50	OK

表 4.3.7-3 改良地盤のせん断力に対する検討結果 (改良地盤下端)

方向	最大せん断力 発生地震波	最大せん断力 F _H (kN)	水平抵抗力 F _R (kN)	安全率 F _S	クライテリア	判定
NS	従来の Ss-2	105335	676650	6.42	1.50	OK
EW	従来の Ss-1	106956	676650	6.32	1.50	OK

3) 支持力の検討

支持力の評価は、改良地盤下端における最大鉛直応力が支持地盤の極限支持力度に対して 1.5 以上の安全率を有していることを確認する。

$$\frac{R_u}{V} \geq 1.5$$

ここで、

R_u: 極限鉛直支持力度

V: 地震応答解析から得られる最大鉛直応力

検討の結果、支持地盤の極限支持力度 (6860 kN/m²) *は改良地盤底部における最大鉛直応力の 1.5 以上の安全率を有していることを確認した。

*: 「福島第一原子力発電所 原子炉設置変更許可申請書 (4号炉増設)」による

$$\text{NS 方向} : 6860 \text{ kN/m}^2 / 761 \text{ kN/m}^2 = 9.01 \geq 1.50 \dots \text{OK}$$

$$\text{EW 方向} : 6860 \text{ kN/m}^2 / 793 \text{ kN/m}^2 = 8.65 \geq 1.50 \dots \text{OK}$$

4.3.8 原子炉建屋接触部の耐震性に対する検討

(1) 弾性支承反力に対する検討

地震応答解析で得られる弾性支承に生ずる最大圧縮軸力の反力として原子炉建屋の RC 梁に生じるせん断力が、梁の許容せん断耐力以下となることを確認する。なお、原子炉建屋接触部の状況については、別冊 2 8 P64 参照。

弾性支承の反力は基本的に、プール壁及び下階柱に直接かかるように配置するが、一部梁端に作用するため、それを考慮する。この時、地震時の鉛直方向震度を下向きに考慮する。鉛直震度は、時刻歴解析時のオペフロ床質点の鉛直方向最大加速度を震度換算して算定する。

なお、前述の通り 1/2Ss450 を適用した場合の影響が十分小さいことを確認したことから、Ss600 での検討結果を記載する。

検討の結果、梁のせん断力が許容せん断耐力以下となることを確認した。

表 4.3.8-1 弾性支承反力に対する検討結果

部位	荷重ケース (位置)*	梁端せん断力 Q (kN)	許容せん断耐力 Qa (kN)	耐力比	判定
弾性支承受梁	従来の Ss-1 NS (A)	1203	2313	0.52	O. K.

* : ()内は、燃料取扱設備の位置を示す。(表 4.2.1-4 参照)

(2) ばね付きオイルダンパの反力に対する検討

ばね付きオイルダンパの反力を受ける原子炉建屋床架構を有限要素法を用いてモデル化し弾性解析を行う。床スラブは板要素で、大梁は線材でモデル化する。

ばね付きオイルダンパの反力は、地震応答解析における各支点での最大鉛直方向反力値を取り出し静的に作用させる。

なお、前述の通り 1/2Ss450 を適用した場合の影響が十分小さいことを確認したことから、Ss600 での検討結果を記載する。

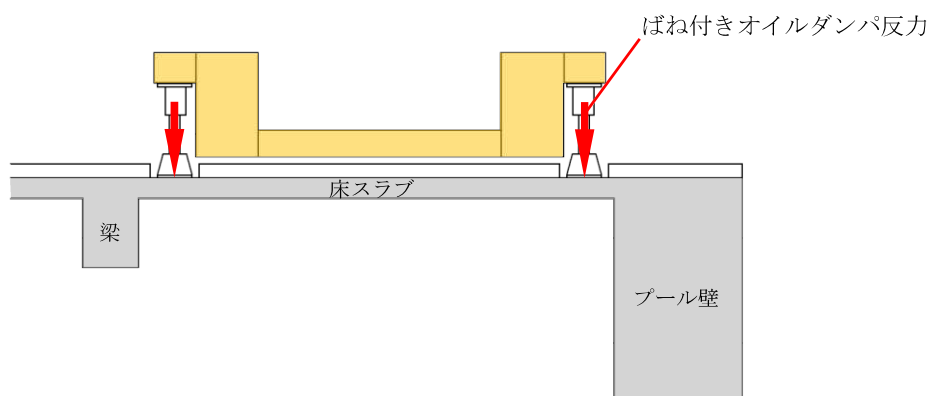


図 4.3.8-1 ばね付きオイルダンパ反力概要図

検討の結果、床スラブの発生応力が許容耐力以下となることを確認した。

表 4.3.8-2 ばね付きオイルダンパの反力に対する検討結果

部位	荷重ケース (位置) *	応力	発生応力	許容耐力	耐力比	判定
ばね付きオイルダンパ 受け床スラブ	従来の Ss-1 NS (A)	曲げ M (kN・m)	79	216	0.37	0. K.
		せん断 Q (kN)	321	420	0.77	0. K.

* : ()内は、燃料取扱設備の位置を示す。(表 4.2.1-4 参照)

(3) オイルダンパ（水平棟間）反力に対する検討

オイルダンパ（水平棟間）の反力を受ける原子炉建屋南側外壁（壁・大梁及び柱）を有限要素法を用いてモデル化し、弾性解析を行う。

床スラブ・壁付梁は板要素で、柱は線材でモデル化する。

オイルダンパ（水平棟間）の反力を受ける箇所は2箇所あるが、面外方向の反力値が大きく、躯体断面の小さい西側での検定比が支配的となるため西側での検討を代表として行う。

オイルダンパ（水平棟間）の反力は、地震応答解析において発生した最大反力を取り出し静的に作用させる。

この時、地震時の水平方向震度を考慮する。水平震度は、時刻歴解析の原子炉建屋床質点の水平方向最大加速度を震度換算して算定し、慣性力として架構面外に作用させる。

なお、前述の通り 1/2Ss450 を適用した場合の影響が十分小さいことを確認したことから、Ss600 での検討結果を記載する。

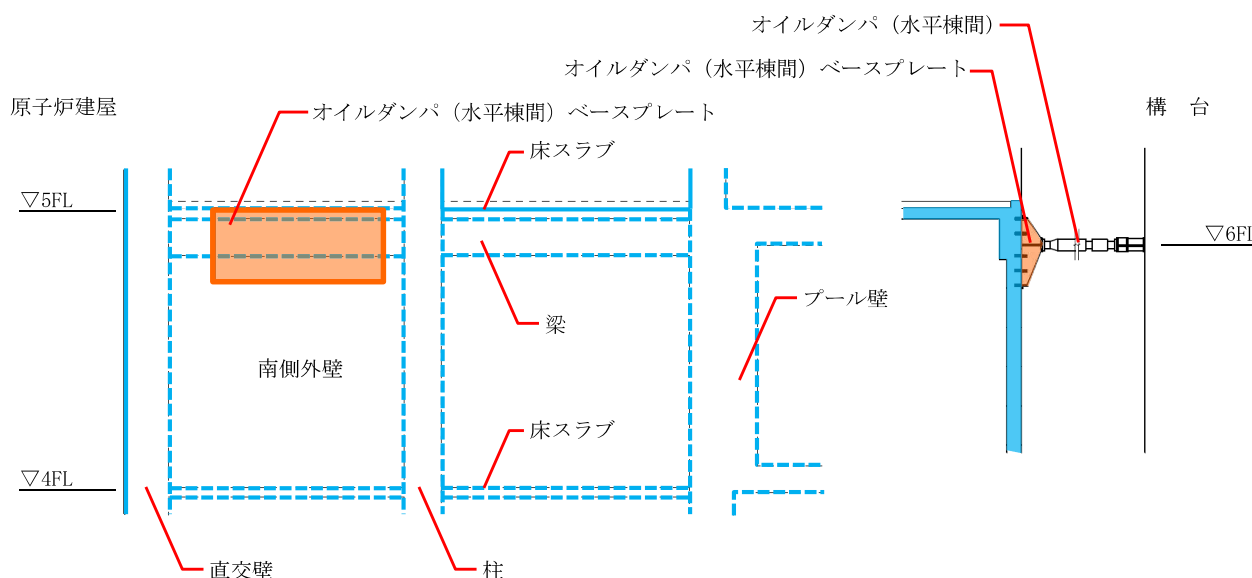


図 4.3.8-2 オイルダンパ（水平棟間）ベースプレート概要図

検討の結果、原子炉建屋南側外壁の発生応力が許容耐力以下となることを確認した。

表 4.3.8-3 オイルダンパ（水平棟間）反力に対する検討結果

部位	荷重ケース (位置)*	応力	発生応力	許容耐力	耐力比	判定
オイルダンパ (水平棟間) 受け外壁	従来の Ss-2 NS (B)	曲げ M (kN・m)	206	422	0.49	O. K.
		せん断 Q (kN/m)	273	589	0.47	O. K.

*: ()内は、燃料取扱設備の位置を示す。(表 4.2.1-4 参照)

(4) オイルダンパ（水平棟間）反力に対するあと施工アンカーの検討

オイルダンパ（水平棟間）は、原子炉建屋南側外壁のオペフロ床より少し下がった位置で、あと施工アンカー（M30及びM60 の2種類）を用いて壁面に固定されたベースプレートと接続している。取り合い部の詳細を図 4.3.8-3 に示す。なお、あと施工アンカーの適用性については、別冊 2 8 P63 参照。

なお、前述の通り 1/2Ss450 を適用した場合の影響が十分小さいことを確認したことから、Ss600 での検討結果を記載する。

あと施工アンカーは、地震応答解析で得られたオイルダンパ（水平棟間）の反力（引張及びせん断方向）の最大値に対して短期許容強度以下となることを確認した。

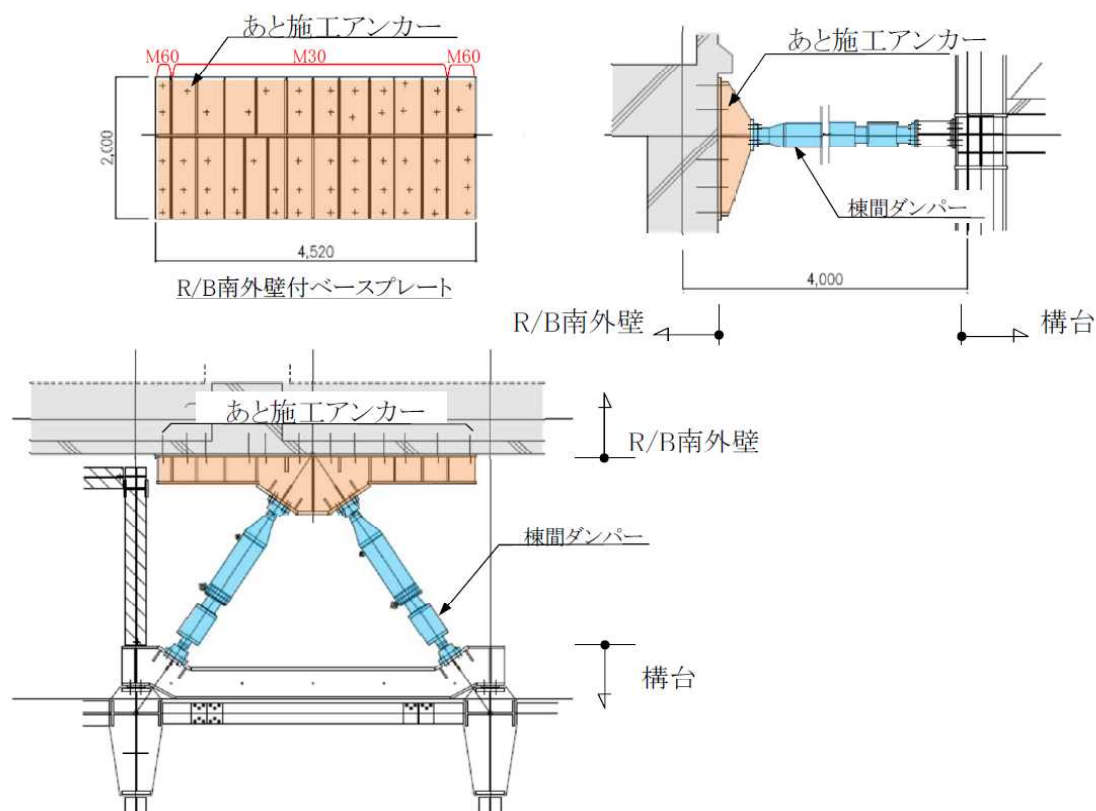


図 4.3.8-3 取り合い部の詳細

表 4.3.8-4 オイルダンパ（水平棟間）反力に対するあと施工アンカーの検討結果
一般あと施工アンカー及びFM ボルトの許容耐力

種類	径	有効埋込長	短期許容強度	
一般あと施工アンカー	M30	300 mm	73 kN/本	引張
FM ボルト	M60	265 mm	329 kN/本	せん断

検討結果				
種類	作用応力 (kN)	許容耐力 (kN)	耐力比	判定
引張	3203	3285	0.98	O. K.
せん断	2219	3290	0.68	O. K.

4.3.9 原子炉建屋の耐震性に対する検討

(1) 検討方針

燃料取り出し用構台を支持する原子炉建屋の耐震性の検討は、耐震安全上重要な設備への波及的影響防止の観点から、原子炉建屋の耐震壁及び屋根トラス（以下、原子炉建屋上部架構）の健全性について行い、Ss600 に対して原子炉建屋上部架構の応答性状を適切に表現できる地震応答解析を用いて評価する。

なお、前述の通り $1/2Ss450$ を適用した場合の影響が十分小さいことを確認したことから、Ss600 での検討結果を記載する。

(2) 原子炉建屋上部架構の地震応答解析

1) 解析に用いる入力地震動

原子炉建屋上部架構の地震応答解析に用いる入力地震動は、Ss600 を入力したときの原子炉建屋 G. L. 29.92m の時刻歴応答加速度とし、水平方向、回転方向及び鉛直方向の同時入力とする。入力地震動の概念図を図 4.3.9-1 に示す。

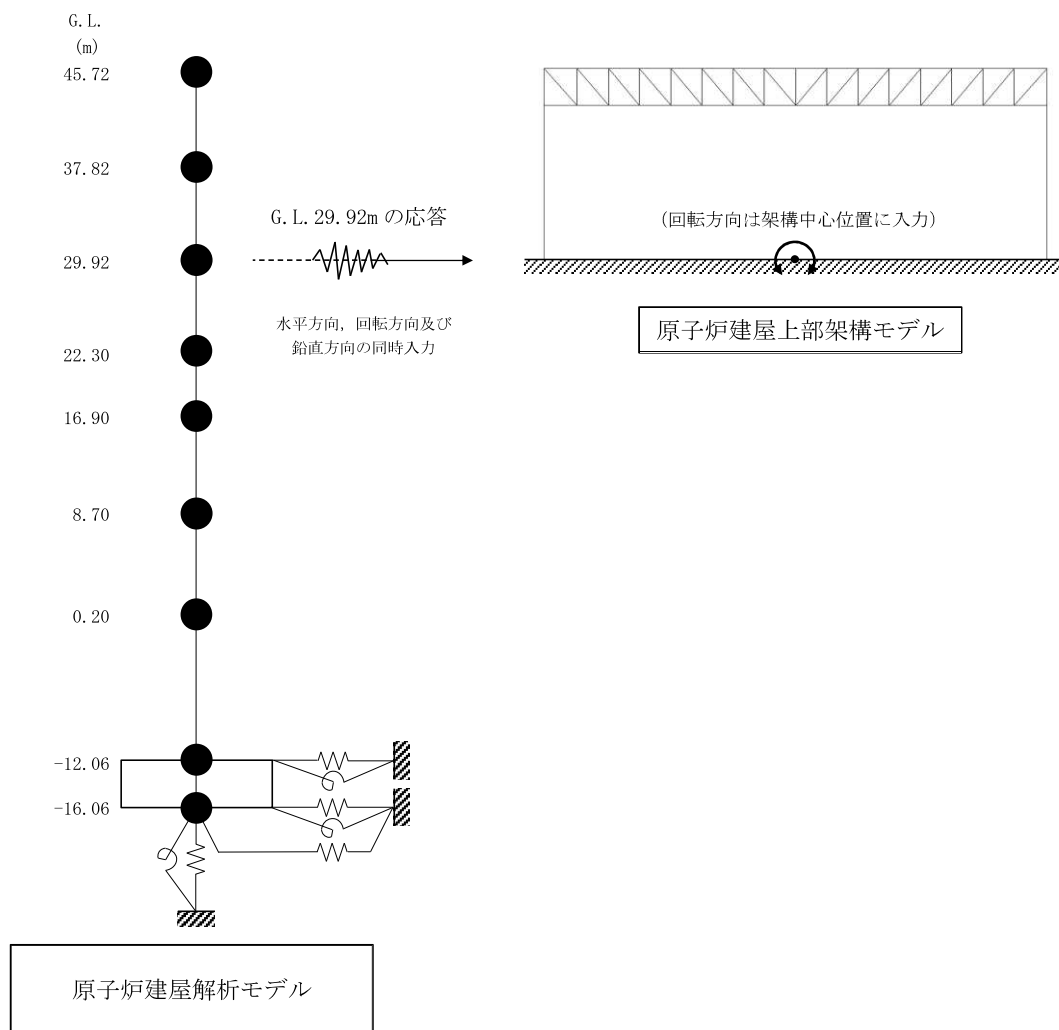


図 4.3.9-1 入力地震動の概念図

2) 地震応答解析モデル

原子炉建屋上部架構の地震応答解析モデルは、G. L. 29.92m より上部の鉄骨造の屋根と鉄筋コンクリート造の柱、梁及び耐震壁を組み込んだ立体架構モデルとし、境界条件は柱及び耐震壁脚を固定とする。解析モデルを図 4.3.9-2 に、物性値を表 4.3.9-1 に示す。

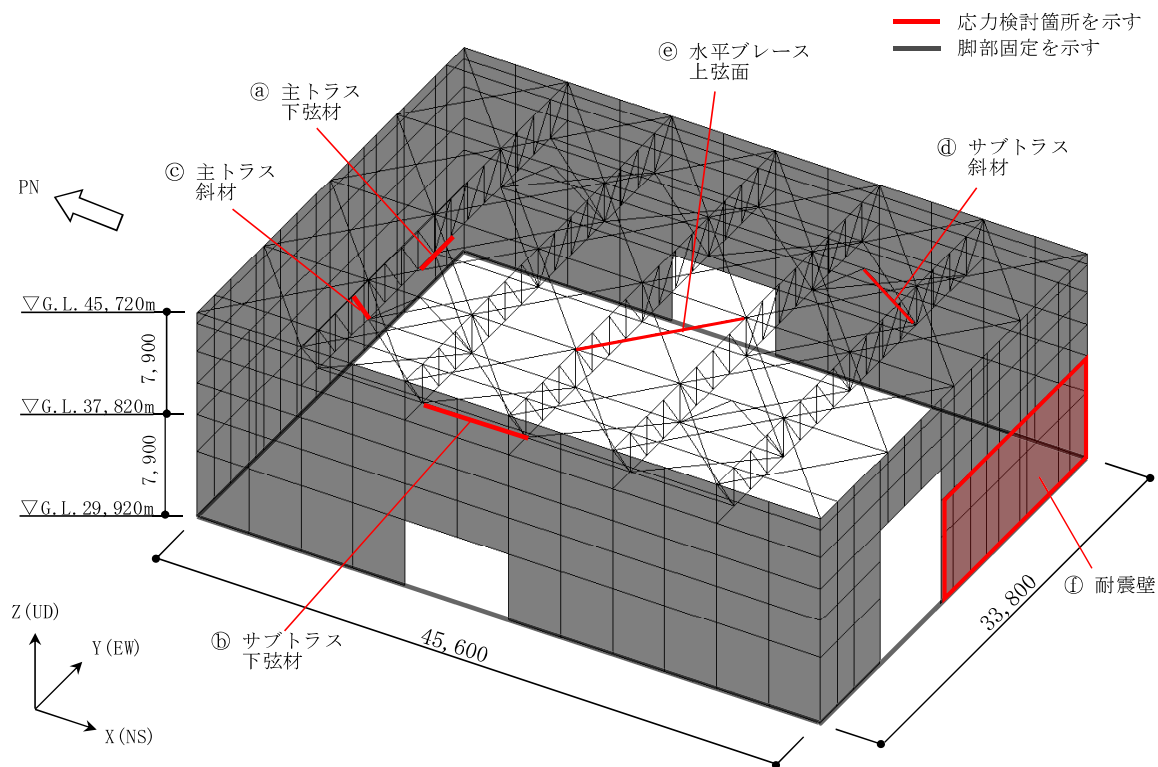


図 4.3.9-2 原子炉建屋上部架構の地震応答解析モデル

表 4.3.9-1 地震応答解析に用いる物性値

部 位	材 料	ヤング係数 E (N/mm ²)	せん断弾性係数 G (N/mm ²)	減衰定数 h (%)
屋根	鉄骨	2.05×10^5	7.90×10^4	2
外周部	コンクリート*	2.57×10^4	1.07×10^4	5

* : 実強度 (Fc35) に基づく物性値を示す。

(3) 波及的影響の評価

原子炉建屋上部架構の変形は、JSCA 性能メニュー（社団法人日本建築構造技術者協会、2018 年）を参考に定めたクライテリアとして、鉄骨造部材は、塑性率が 5 以下を満足することを確認する。

耐震壁のせん断ひずみは、鉄筋コンクリート造耐震壁の終局限界に対応した評価基準値 (4.0×10^{-3}) 以下になることを確認する。

1) 応力度比及び塑性率の検討

部材の応力度比は、2 方向の曲げ、軸力及びせん断力の各最大応力と各許容応力度との比を組み合わせた値で表され、部材の塑性率は、引張及び圧縮に対して最大軸力時のひずみを引張耐力または座屈耐力時のひずみで除した値で表される。表 4.3.9-2 及び表 4.3.9-3 に応力度比及び塑性率が最大となる部位の検討結果を示す。なお、各許容応力度、引張耐力及び座屈耐力算定時の材料強度は「平成 12 年建設省告示第 2464 号」に定められた基準強度 F 値の 1.1 倍を用いる。

表 4.3.9-2 より応力度比は 1 以下、表 4.3.9-3 より塑性率は 5 以下となり、クライテリアを満足することを確認した。

表 4.3.9-2 応力度比の検討結果

部 位*1			部材形状 (mm) <使用材料>	荷重ケース (位置)*2	作用 応力度 (N/mm ²)		許容 応力度 (N/mm ²)	応力度比	判定
主トラス	㉑	下弦材	H-400×400 ×13×21 <SS400>	従来の Ss-1 +NS+UD (A)	σ_t	108.4	258	0.72	O.K.
					σ_{by}	49.7	190		
					σ_{bz}	7.4	258		
					τ	5.0	148		
サブ トラス	㉒	下弦材	H-248×249 ×8×13 <SS400>	従来の Ss-1 +EW-UD (A)	σ_c	53.1	142	0.38	O.K.
					σ_{by}	0.0	157		
					σ_{bz}	0.0	258		
					τ	0.0	148		

*1：㉑、㉒の符号は図 4.3.9-2 の応力検討箇所を示す

*2：()内は、燃料取扱設備の位置を示す。(表 4.2.1-4 参照)

σ_t : 引張応力度の最大値

σ_c : 圧縮応力度の最大値

σ_{by} : 強軸まわりの曲げ応力度の最大値 b

σ_{bz} : 弱軸まわりの曲げ応力度の最大値

τ : せん断応力度の最大値

表 4.3.9-3 塑性率の検討結果

部 位 ^{*1}			部材形状 (mm) 〈使用材料〉	荷重ケース (位置) ^{*2}	塑性率		判定
主トラス	㊸	斜材	2Ls-100×100×13 〈SS400〉	従来の Ss-1 +NS+UD (A)	T/Tu	0.82	0. K.
サブ トラス	㊹	斜材	2Ls-100×100×7 〈SS400〉	従来の Ss-1 +NS+UD (A)	C/Cu	0.58	0. K.
水平 ブレース	㊺	上弦面	CT-125×250×9× 14 〈SS400〉	従来の Ss-2 +EW+UD (A)	C/Cu	1.68	0. K.

*1 : ㊸~㊺の符号は図 4.3.9-2 の応力検討箇所を示す

*2 : ()内は、燃料取扱設備の位置を示す。(表 4.2.1-4 参照)

C : 部材軸方向の圧縮力の最大値

Cu : 座屈耐力

T : 部材軸方向の引張力の最大値

Tu : 引張耐力

2) 耐震壁のせん断ひずみの検討

原子炉建屋上部架構の耐震壁の最大せん断ひずみを表 4.3.9-4 に示す。

検討の結果、耐震壁の最大せん断ひずみは 4.0×10^{-3} 以下となり、クライテリアを満足することを確認した。

また、「4.3.2 構台、前室及びランウェイガーダの耐震性に対する検討」で実施した地震応答解析による原子炉建屋の最大せん断ひずみを、「JEAG 4601-1991 追補版」に基づき設定した耐震壁のせん断スケルトン曲線上にプロットした結果を図 4.3.9-3 に示す。

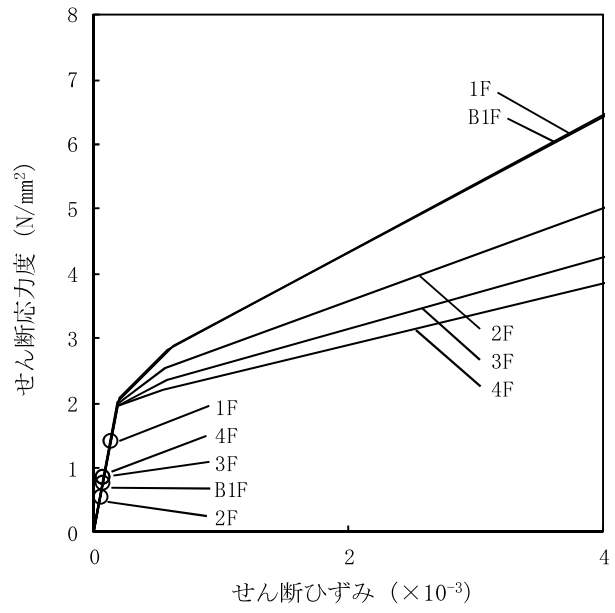
検討の結果、耐震壁の最大せん断ひずみは 4.0×10^{-3} 以下となり、クライテリアを満足することを確認した。

表 4.3.9-4 耐震壁の最大せん断ひずみの検討結果

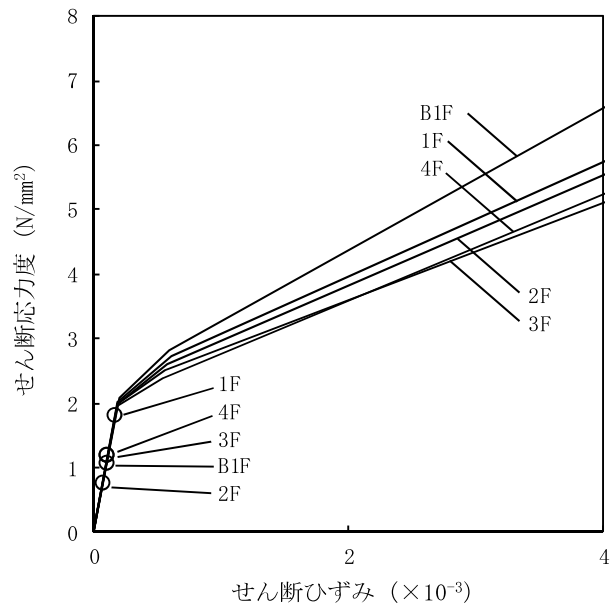
部 位 ^{*1}			部材形状 (mm) 〈使用材料〉	荷重ケース (位置) ^{*2}	せん断ひずみ ($\times 10^{-3}$)	判定
耐震壁	㊻	建屋南側 5F	t=200 〈Fc22.1〉	従来の Ss-1 +EW+UD (A)	0.24	0. K.

*1 : ㊻の符号は図 4.3.9-2 の応力検討箇所を示す

*2 : ()内は、燃料取扱設備の位置を示す。(表 4.2.1-4 参照)



(a) NS 方向



(b) EW 方向

図 4.3.9-3 せん断スケルトン曲線上の最大応答値

5. 1号機燃料取り出し用カバーの構造強度及び耐震性について

5.1 概要

5.1.1 一般事項

1号機燃料取り出し用カバーは、大型カバーと内部カバーから構成されている。ここでは、大型カバーの構造強度と機能維持及び波及的影響の防止について検討を行う。

大型カバーは、原子炉建屋オペレーティングフロアを覆う構造としており、屋根部、一般部及び燃料取扱設備支持部から構成され、オペレーティングフロア上にあるガレキを撤去するガレキ撤去用天井クレーンを有する。また、大型カバーの燃料取扱設備支持部は燃料取扱設備（燃料取扱機及びクレーン）を支持する。

大型カバーおよびガレキ撤去用天井クレーンの耐震クラス分類は、2021年9月8日及び2022年11月16日の原子力規制委員会で示された耐震設計の考え方を踏まえ、安全機能の重要度、地震によって機能の喪失を起こした場合における公衆への被ばく影響を評価した結果、Cクラスとなる。なお、燃料取扱設備支持部が燃料取扱設備の間接支持構造物であることから、大型カバーに適用する地震力はB+クラス相当とする。

大型カバーの構造強度は、B+クラスの設備に要求される静的地震力に対して許容応力度設計を実施し、耐震性のうち機能維持の検討は、基準地震動 S_s （最大加速度 900gal。以下、「 S_s900 」という。）の1/2の最大加速度 450galの地震動（以下、「 $1/2S_s450$ 」という。）に対する地震応答解析を実施し、燃料取扱設備の間接支持機能が維持されることを確認する。

ガレキ撤去用天井クレーンの構造強度は、Cクラスの設備に要求される静的地震力に対して許容応力度設計を実施する。

大型カバーとガレキ撤去用天井クレーンの耐震性のうち波及的影響の防止の検討は、 S_s900 に対する地震応答解析を実施し、大型カバーおよびガレキ撤去用天井クレーンの損傷が原子炉建屋、使用済燃料プール及び使用済燃料ラックに波及的影響を及ぼさないことを確認する。ここで、波及的影響の確認は、大型カバー及びガレキ撤去用天井クレーンが崩壊機構に至らないことを確認する。図 5.1.1-1 に大型カバーのイメージを示す。

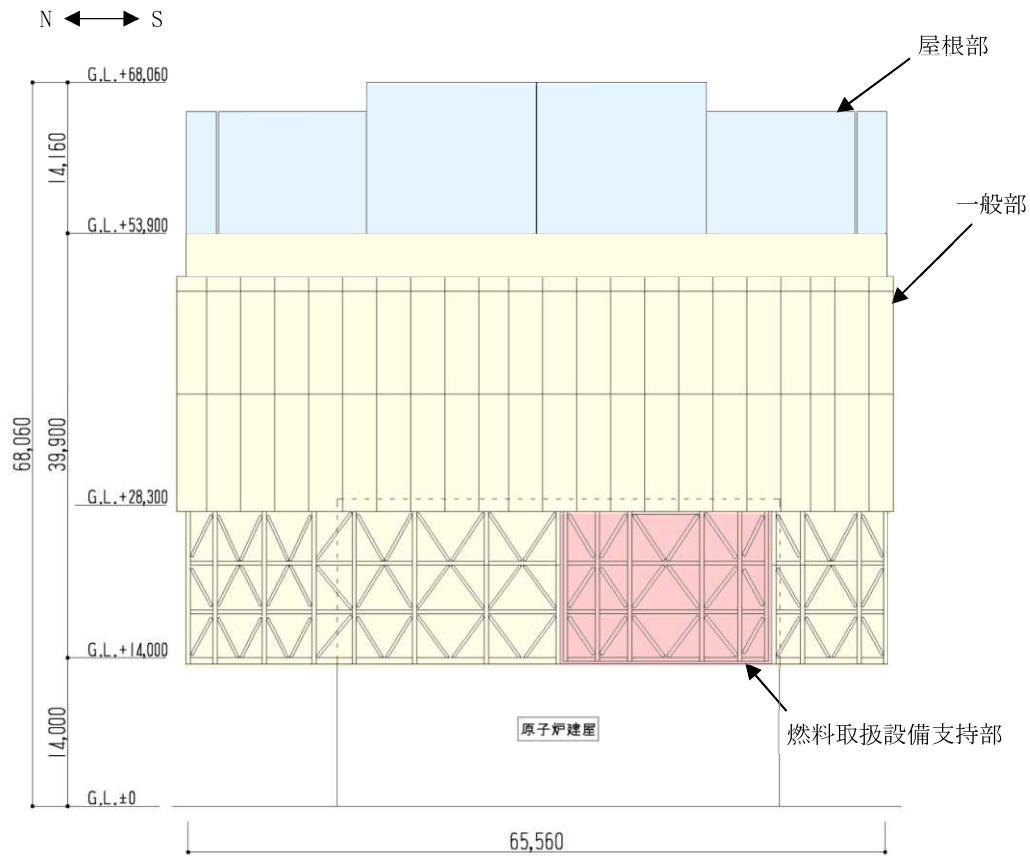


図 5. 1. 1-1 大型カバーのイメージ (単位 : mm)

本章では、G. L. ±0m=T. P. 8, 564mm*とする。
 また、記載の寸法は現場状況に応じて変更する場合がある。
 * : 震災後の地盤沈下量(-709mm)と O. P. から T. P. への読替値(-727mm)を用いて、下式に基づき換算している。
 <換算式>T. P. =旧 O. P. -1, 436mm

大型カバーの検討は原則として下記の法規及び基規準類に準拠して行う。

- (1) 建築基準法・同施行令及び関連告示
- (2) 原子力施設鉄筋コンクリート構造計算規準・同解説（日本建築学会，改定版 2013 年）
- (3) 鉄筋コンクリート構造計算規準・同解説（日本建築学会，2018 年）
- (4) 鋼構造設計規準—許容応力度設計法—（日本建築学会，2005 年）
- (5) 2015 年版 建築物の構造関係技術基準解説書(国土交通省住宅局建築指導課・国土交通省国土技術政策総合研究所・独立行政法人建築研究所・日本建築行政会議，2015 年)
- (6) 各種合成構造設計指針・同解説（日本建築学会，2010 年）
- (7) クレーン等安全規則（昭和 47 年 9 月 30 日労働省令第 34 号）
- (8) クレーン構造規格（平成 7 年 12 月 26 日労働省令第 134 号）
- (9) 日本産業規格（JIS）

また，原子力施設の設計において参照される下記の指針及び規程を参考にして検討を行う。

- (10) 原子力発電所耐震設計技術指針(JEAG 4601-1987)（日本電気協会 電気技術基準調査委員会，昭和 62 年）
- (11) 原子力発電所耐震設計技術指針(JEAG 4601-1991 追補版)（日本電気協会 電気技術基準調査委員会，平成 3 年）
- (12) 原子力発電所耐震設計技術規程(JEAC 4601-2015)（日本電気協会 原子力規格委員会，平成 27 年）

5.1.2 構造概要

大型カバーは、東西方向 55.92m、南北方向 65.56m、高さ 68.06m の構造物で、構造形式はトラス構造、構造種別は鉄骨造である。また、一般部と燃料取扱設備支持部は構造的に分離している。大型カバー頂部付近は、水平剛性を高めるため、鋼板による箱桁架構とし、屋根は可動式として

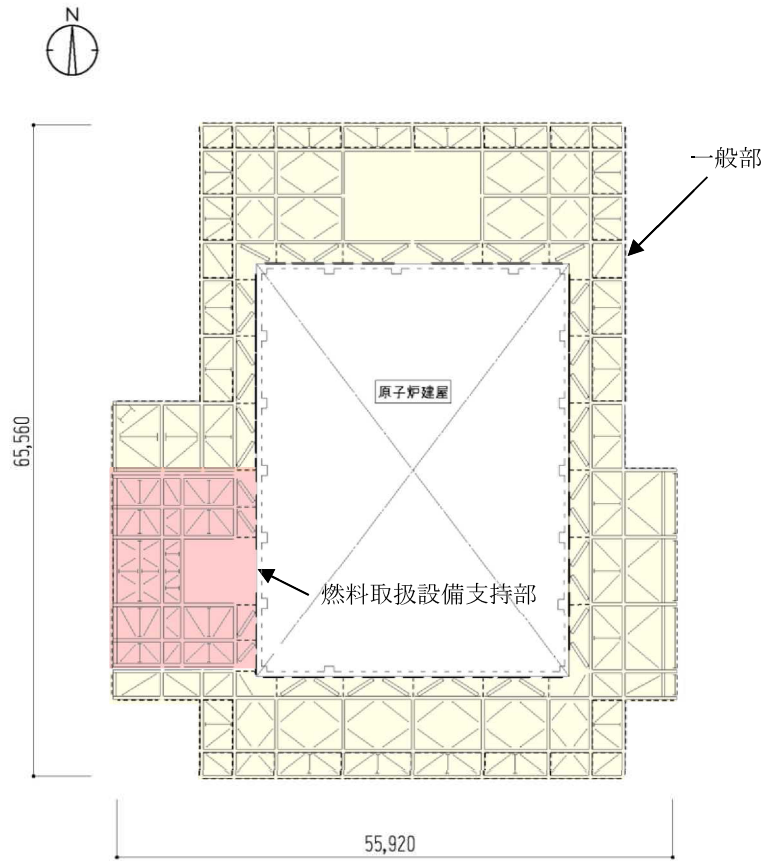
いる。

大型カバーは、原子炉建屋に支持される構造物である。原子炉建屋との取り合い部においては、アンカーボルトにより接続している。

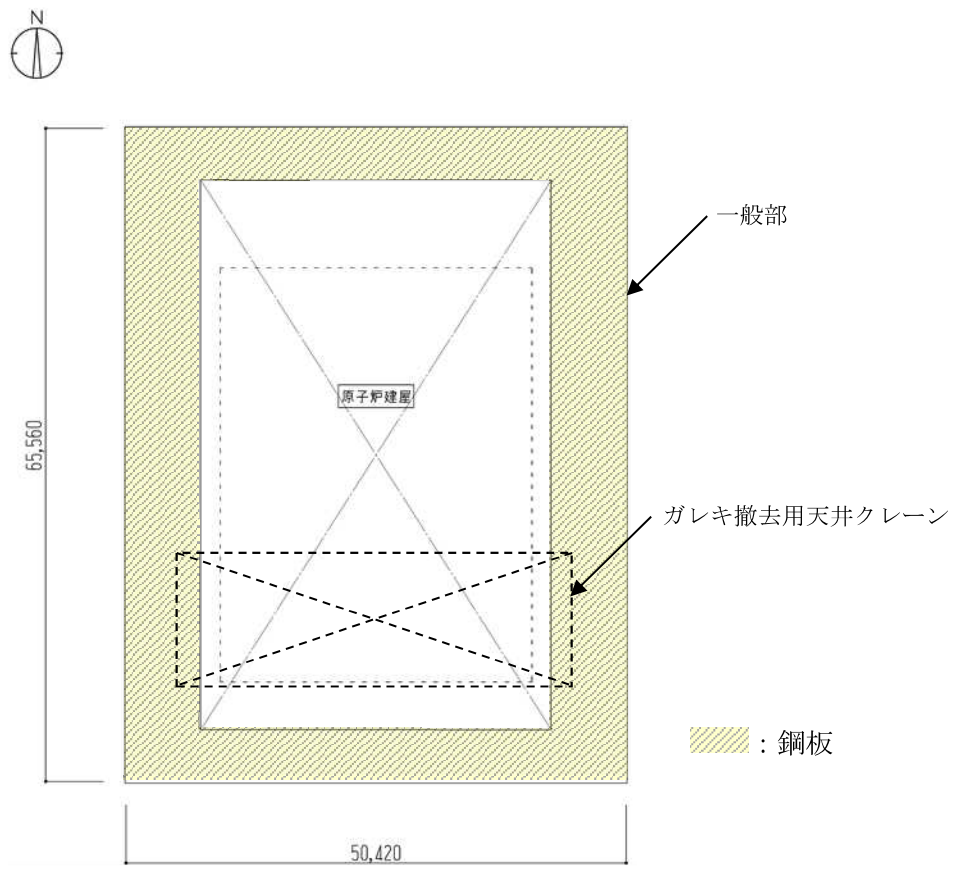
屋根は、4つの架構（中央の2つを「大屋根」、大屋根の外側の2つを「小屋根」という。また、小屋根の外側の稼働しない部分を「妻壁」という。）から構成され、それぞれが可動する構造である。屋根と大型カバーは構造的に分離されており、屋根は通常時、固定ピンを介して大型カバーに固定されている。また、屋根は固定ピンを外すことによって、南北方向へ動くことが可能となる。なお、屋根の逸走を防止するための逸走防止受けを大型カバー頂部にある鋼板部（以下、「箱桁架構」という）に設置し、屋根が動く際には屋根の落下防止材として機能する。

大型カバー内部にあるガレキ撤去用天井クレーンは、箱桁架構を南北方向に走行する。また、ガレキ撤去用天井クレーンを構成する2本のクレーンガーダ上に2台のトロリーがあり、これらが東西方向に移動する。

大型カバーの概要図を図 5.1.2-1 及び図 5.1.2-2 に示す。ガレキ撤去用天井クレーンの概要図を図 5.1.2-3 に示す。屋根伏図を図 5.1.2-4 に、断面図を図 5.1.2-5 に示す。屋根部の落下防止の概要図を図 5.1.2-6 に示す。

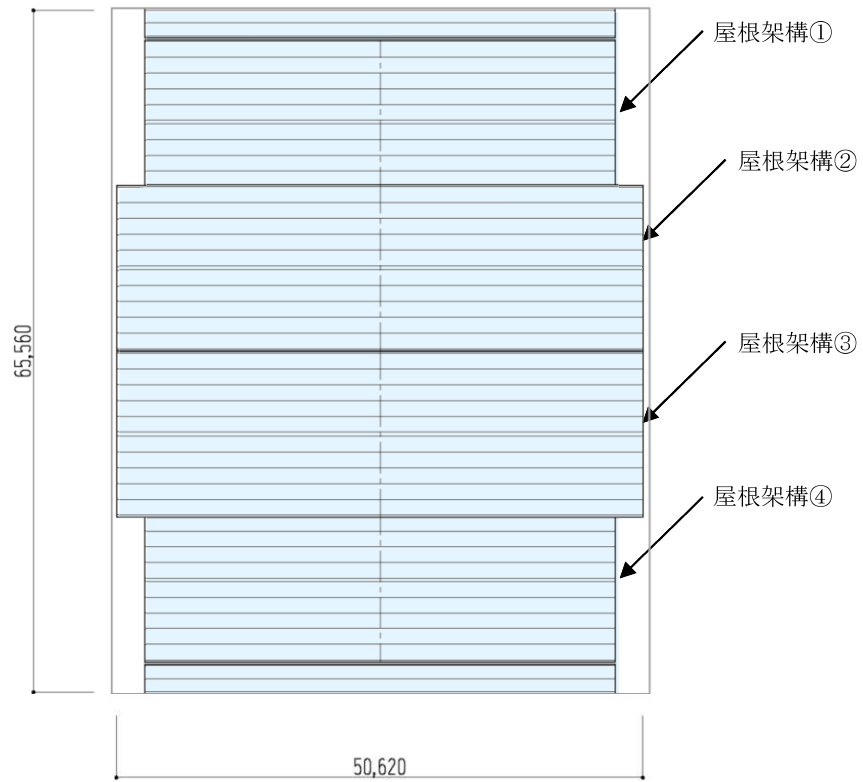


(a) 伏図 (G. L. +28, 300)



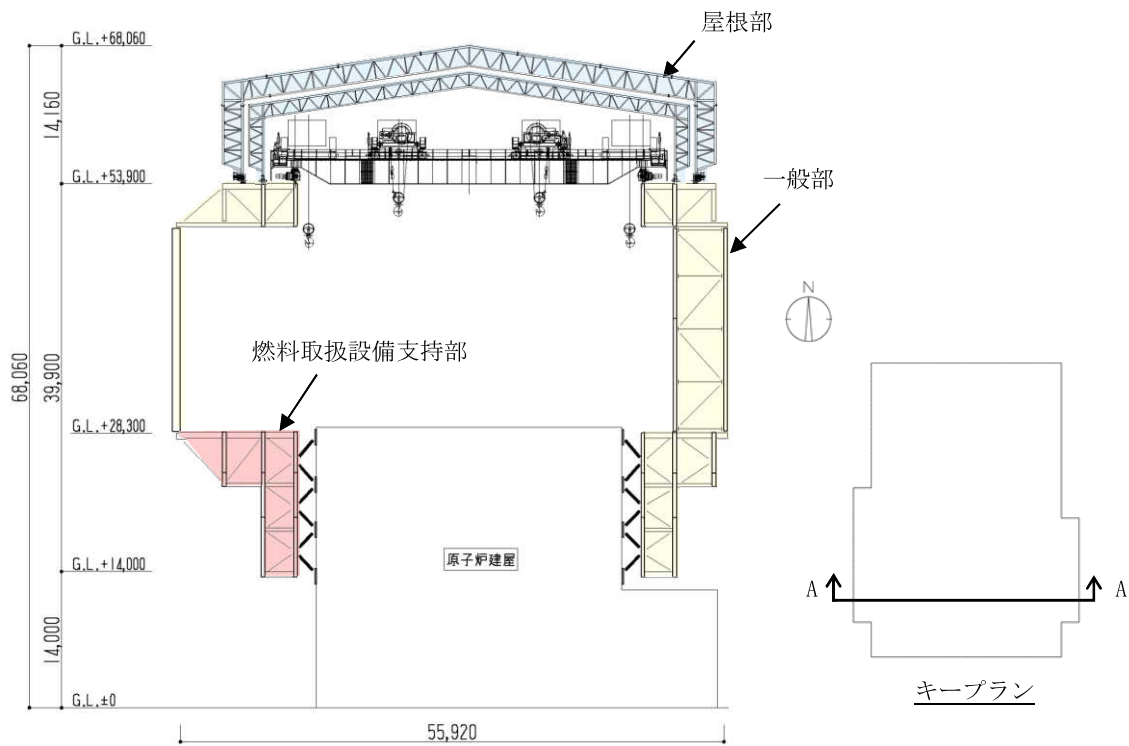
(b) 伏図 (G. L. +53, 900)

図 5. 1. 2-1(1) 大型カバーの概要 (単位 : mm)

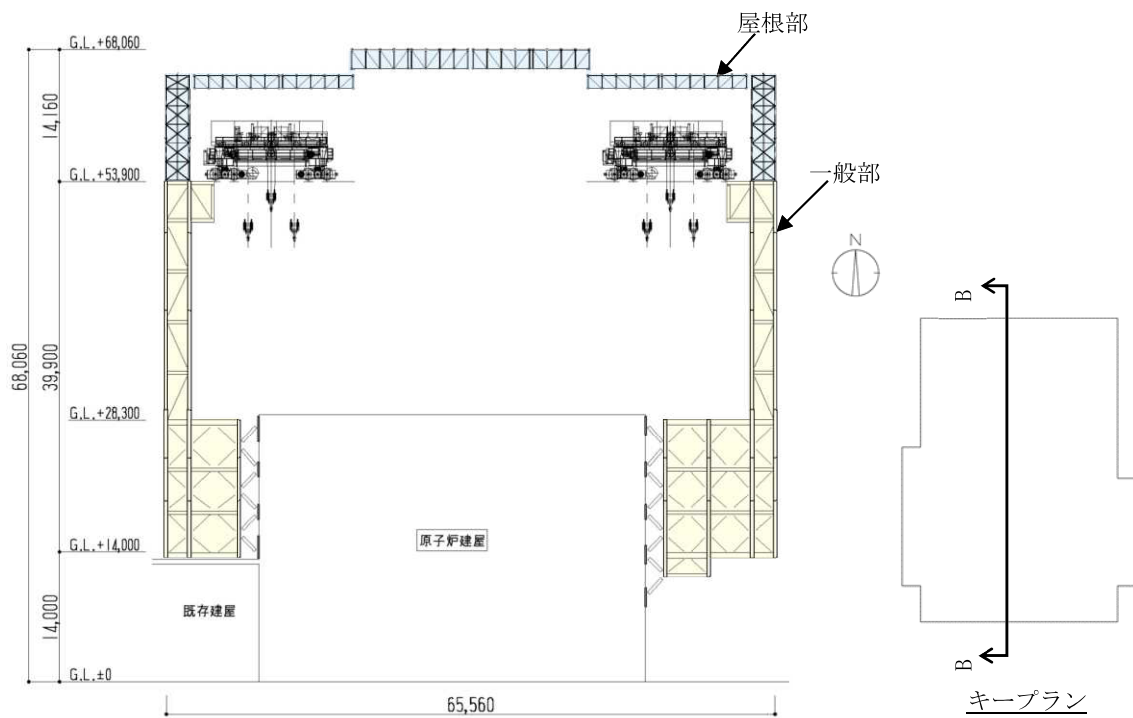


屋根伏図

図 5. 1. 2-1 (2) 大型カバーの概要 (単位 : mm)



(a) 大型カバーA-A 断面図



(b) 大型カバーB-B 断面図

図 5.1.2-2 大型カバーの概要 (単位: mm)

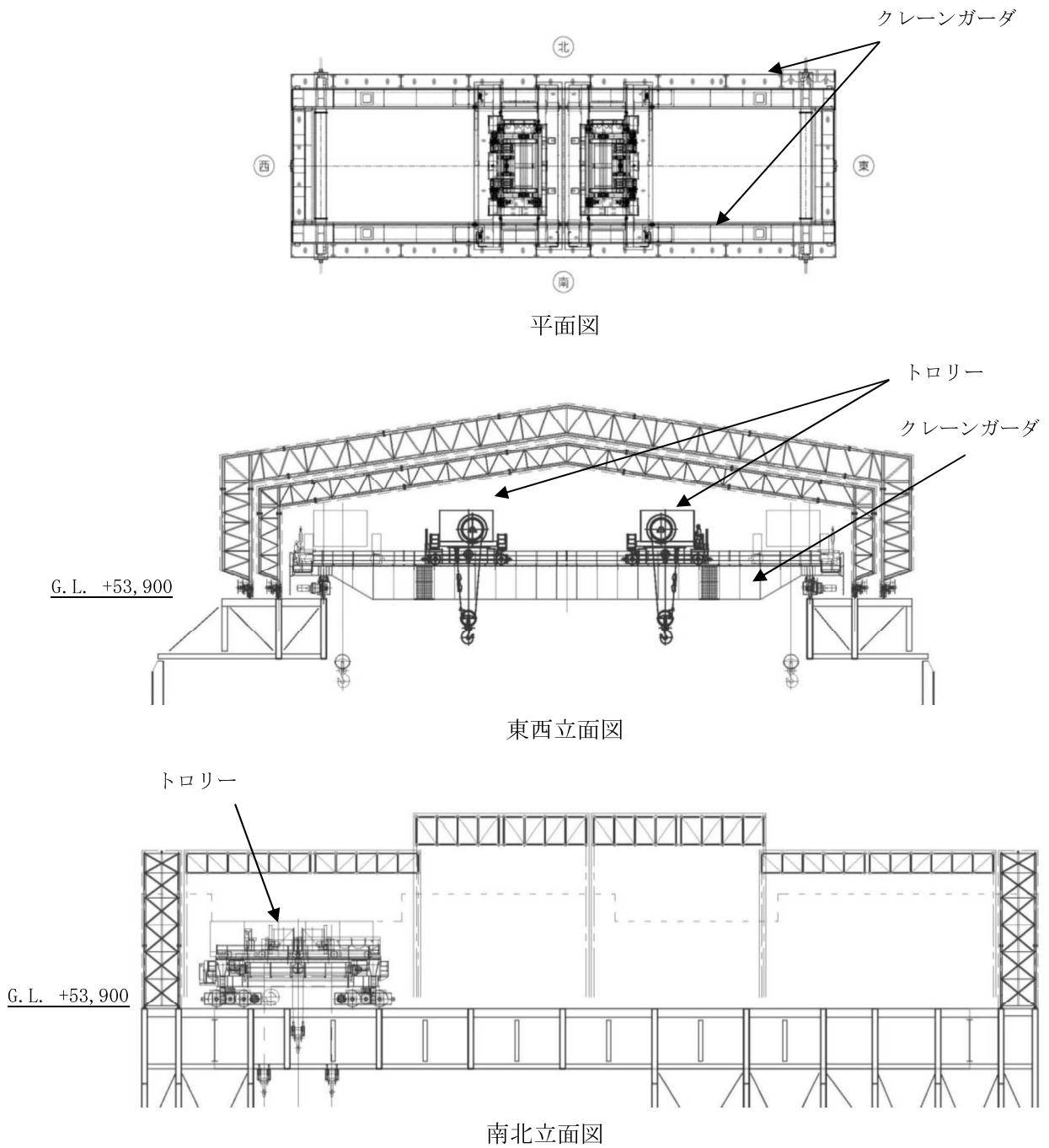


図 5.1.2-3 ガレキ撤去用天井クレーン概要図

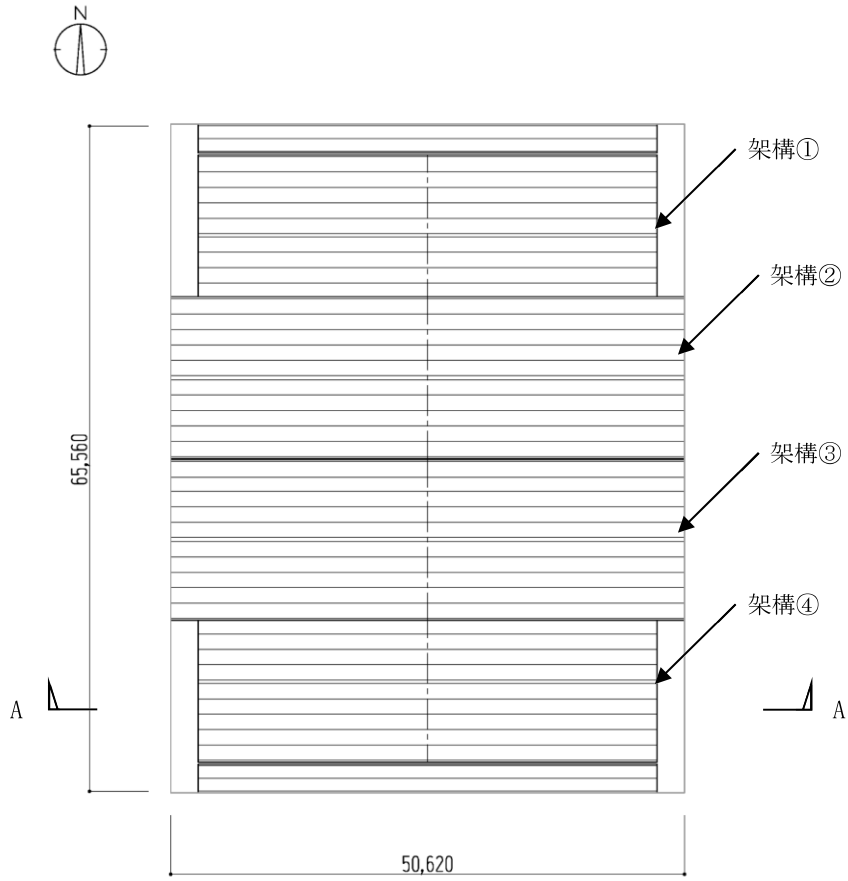


图 5.1.2-4 屋根伏図 (单位: mm)

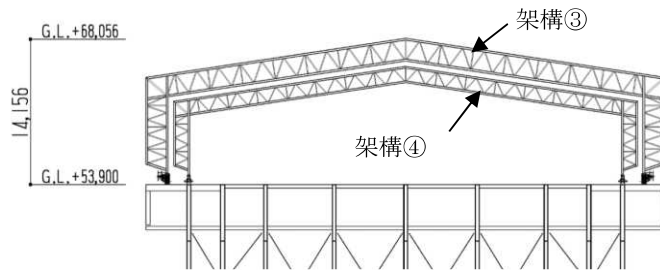


图 5.1.2-5 A-A 断面图 (单位: mm)

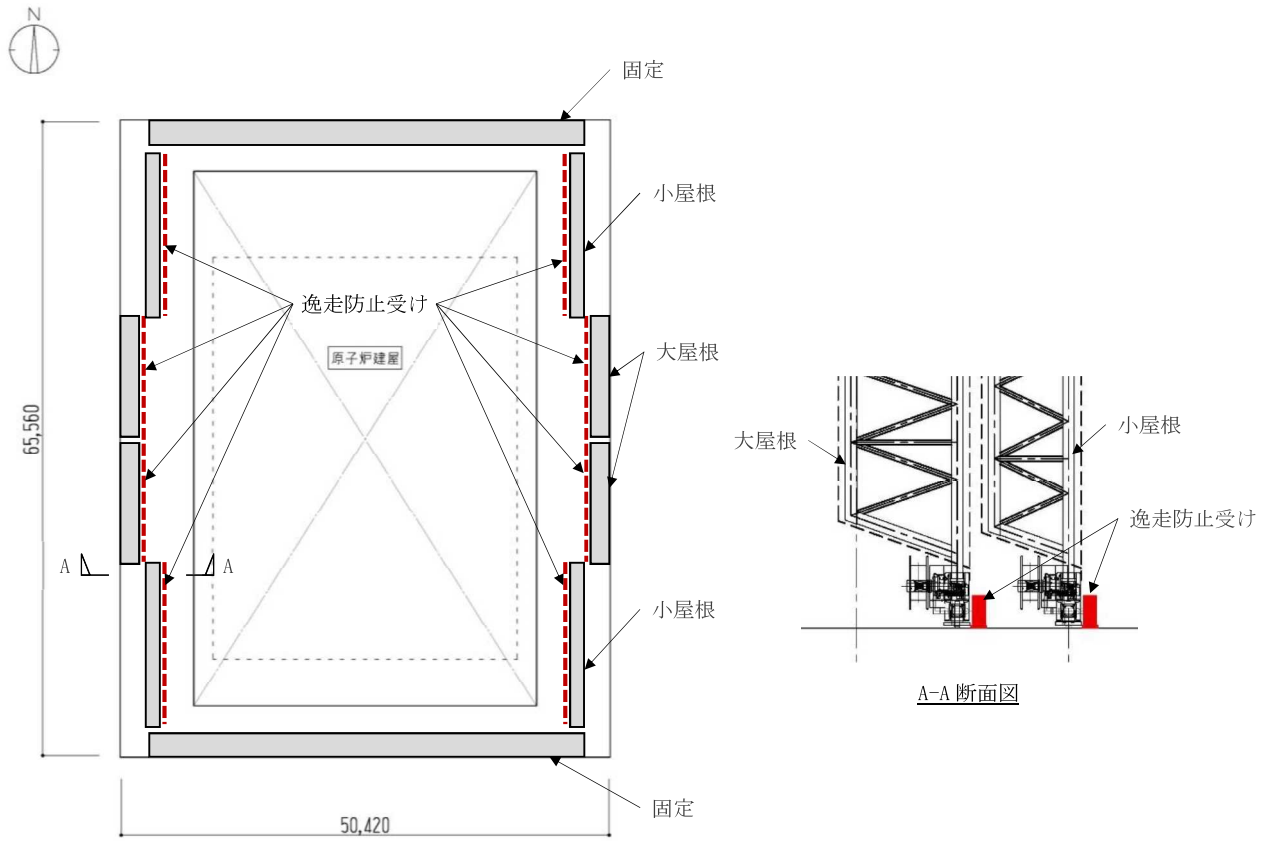


図 5.1.2-6 屋根部の落下防止概要図

5.1.3 検討フロー

大型カバーの構造強度及び耐震性の検討フローを図 5.1.3-1～2 に示す。検討に当たっては、大型カバーを設置し、原子炉建屋上のガレキを撤去しようとする状態（以下、「ガレキ撤去時」という）と、ガレキを撤去した後に、燃料取扱設備を設置した状態（以下、「燃料取り出し時」という）を評価する。

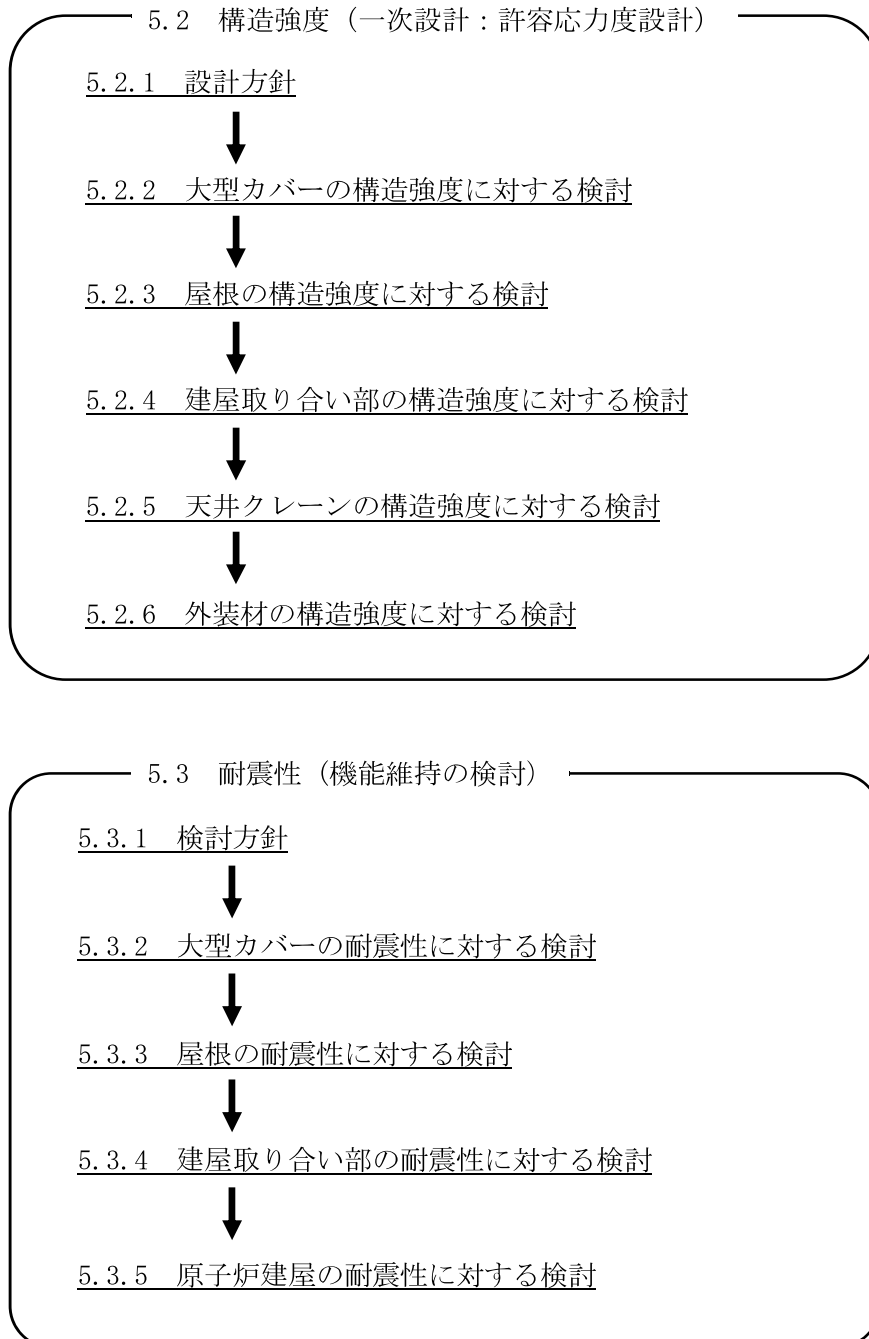


図 5.1.3-1 大型カバーの検討フロー

5.4 耐震性（波及的影響の検討）

5.4.1 検討方針



5.4.2 大型カバーの耐震性に対する検討



5.4.3 屋根の耐震性に対する検討



5.4.4 建屋取り合い部の耐震性に対する検討



5.4.5 天井クレーンの耐震性に対する検討



5.4.6 原子炉建屋の耐震性に対する検討

図 5.1.3-2 大型カバーの検討フロー

5.2 構造強度

5.2.1 設計方針

構造強度の検討は、大型カバー、屋根、建屋取り合い部、天井クレーン及び外装材について許容応力度設計を実施する。

(1) 使用材料及び許容応力度

使用材料の物性値及び許容応力度を表 5.2.1-1 に示す。

表 5. 2. 1-1 使用材料の物性値及び許容応力度

材料定数

部位	材料	ヤング係数 E (N/mm ²)	ポアソン比 ν	単位体積重量 γ (kN/m ³)
大型カバー	鉄骨	2.05×10^5	0.3	77.0
原子炉建屋	コンクリート	2.57×10^4 *	0.2	24.0

* : 実強度に基づく剛性

コンクリートの許容応力度

(単位 : N/mm²)

設計基準強度	長期			短期		
	圧縮	引張	せん断	圧縮	引張	せん断
22.1 (225) *	7.4	—	0.71	14.8	—	1.07

* : 建設時の設計基準強度 (単位 : kgf/cm²)

鉄筋の許容応力度

(単位 : N/mm²)

記号	鉄筋径	長期		短期	
		引張及び圧縮	せん断補強	引張及び圧縮	せん断補強
SD345	D29 未満	215	195	345	345
	D29 以上	195			

構造用鋼材の許容応力度

(単位 : N/mm²)

板厚	材料	基準強度 F	許容応力度*3
T ≤ 40mm	SS400, SN400B, STK400	235	建築基準法及び国土交通省告示に従い、左記 F の値より求める
T > 40mm	SN400B	215	
T ≤ 40mm	SM490A, SN490B, STKN490B STK490, SNR490B	325	
T > 40mm	TMCP325B	325*1	
—	S45C	490*2	

*1 : 国土交通大臣指定書 (国住指第 326-2, 平成 14 年 5 月 7 日又は国住指第 1208-2, 1209-2, 平成 15 年 7 月 31 日) による

*2 : 「JIS G 4051-2005」による

*3 : 終局強度は許容応力度を 1.1 倍とする

(2) 解析モデル

大型カバーの解析モデルは、原子炉建屋を質点系とし、一般部、燃料取扱設備支持部及び屋根部を構成する主要な鉄骨部材をモデル化した立体架構モデルとする。また、ガレキ撤去用天井クレーンもモデル化する。図 5. 2. 1-1 に立体解析モデルを示す。

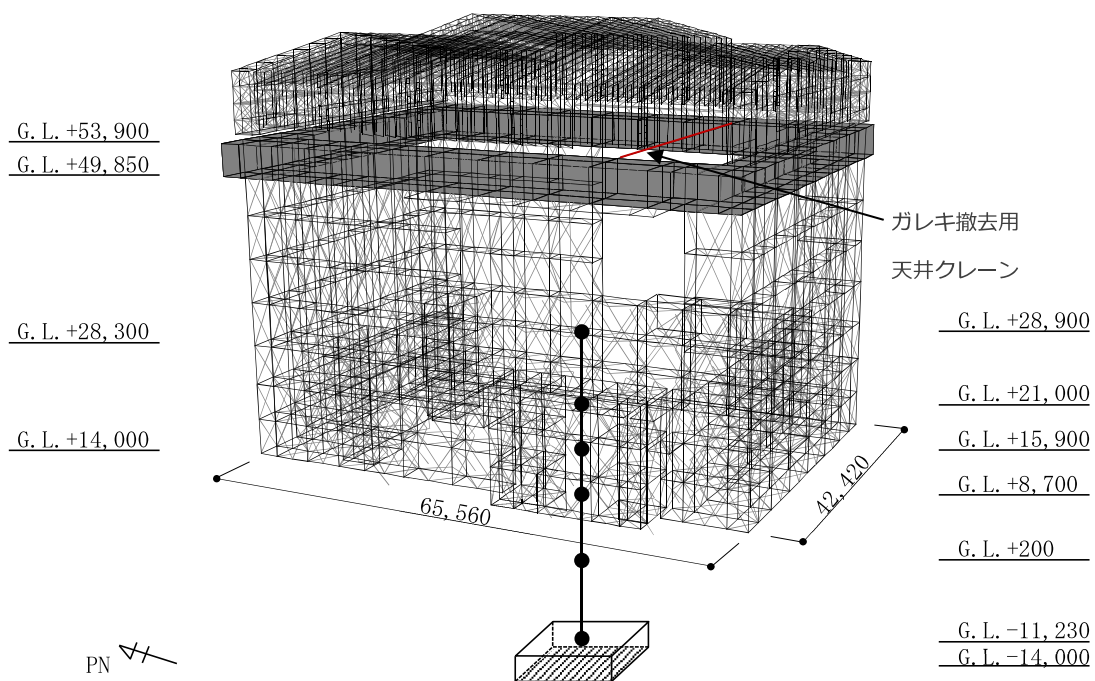


図 5. 2. 1-1 解析モデル

(3) 荷重及び荷重組合せ

設計で考慮する荷重を以下に示す。

1) 鉛直荷重 (VL)

大型カバー及び原子炉建屋に作用する鉛直方向の荷重で、固定荷重、機器荷重、配管荷重及び積載荷重とする。主な鉛直荷重を表 5.2.1-2 及び表 5.2.1-3 に示す。

表 5.2.1-2 大型カバーに作用する主な鉛直荷重(kN)

	ガレキ撤去時	燃料取り出し時
屋根	3800	3800
外装材	5800	4360
遮蔽体	1050	6430
ガレキ撤去用天井クレーン	4200	4200
遠隔解体重機	2600	0
配管	500	830

表 5.2.1-3 原子炉建屋に作用する主な鉛直荷重(kN)

	ガレキ撤去時	燃料取り出し時
ガレキ	12130	0
機器等	4260	43540
遮蔽体	0	21110

2) 積雪荷重 (SL)

積雪荷重は建築基準法施行令第 86 条及び福島県建築基準法施行規則細則に準拠し、以下の条件とする。

なお、国土交通省告示第 594 号による多雪区域以外の区域における積雪後の降雨を見込んだ割増係数を乗じた積雪荷重を考慮する。

積雪量：30cm，単位荷重：20N/m²/cm

3) 風圧力 (WL)

風圧力は建築基準法施行令第 87 条および建設省告示第 1454 号に基づき、基準風速を 30m/s、地表面粗度区分 II として算定する。速度圧の算定結果を表 5.2.1-4 に示す。

表 5.2.1-4 速度圧の算定結果

建物高さ*	平均風速の鉛直分布係数	ガスト影響係数	建物高さと粗度区分による係数	基準風速	速度圧
H(m)	Er	Gf	E	Vo(m/s)	q(N/m ²)
66.2	1.32	2.00	3.51	30	1900

*：建物高さは、軒高さ（64.3m）と最高高さ（68.1m）の平均値とした

4) 地震荷重 (K)

大型カバーに作用させる地震荷重は、G.L.+0.20m（原子炉建屋1階床）を基準面とした水平地震力の算定結果より設定する。水平地震力は下式より算定する。

$$Q_i = n \cdot C_i \cdot W_i$$

$$C_i = Z \cdot R_t \cdot A_i \cdot C_0$$

ここで、

Q_i : 層せん断力 (kN)

n : 施設の重要度に応じた係数

建築基準法で定める地震力の1.5倍を考慮する。

なお、天井クレーンに関しては1.2倍を考慮する。

C_i : 地震層せん断力係数

W_i : 当該部分が支える重量 (kN)

ここに、大型カバーの設計で考慮する原子炉建屋の全体重量は、ガレキ撤去の効果と大型カバー等を新規に設置する影響を考慮した。原子炉建屋の全体重量を表5.2.1-5に示す。

表 5.2.1-5 原子炉建屋の全体重量(kN)

	ガレキ撤去時	燃料取り出し時
原子炉建屋の全体重量	701430	701430
ガレキ撤去による軽減重量	0	-12130
大型カバー設置等の付加重量	+82500	+143090
大型カバー設計用原子炉建屋全体重量	783930	832390

Z : 地震地域係数 ($Z=1.0$)

R_t : 振動特性係数 ($R_t=0.8$)

A_i : 地震層せん断力係数の高さ方向の分布係数で、原子炉建屋の固有値を用いたモーダル解析法（二乗和平方根法）により求める。

C_0 : 標準せん断力係数 ($C_0=0.2$)

i 層の水平震度 k_i は、下式によって算定する。

$$P_i = Q_i - Q_{i-1}$$

$$k_i = P_i / w_i$$

ここで、

P_i : 当該階とその直下階の水平地震荷重の差 (kN)

w_i : 各階重量 (kN)

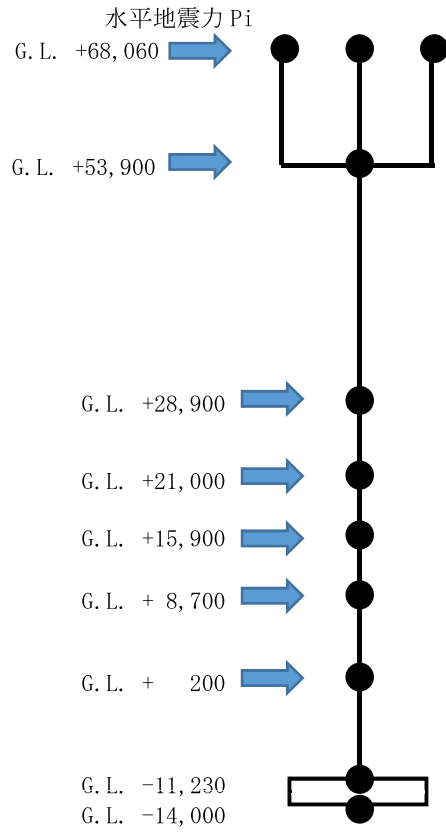
算定した水平地震力を原子炉建屋、大型カバー一般部、燃料取扱設備支持部及び屋根の重量比に基づいて分配し、それぞれに作用させる水平地震力を算定する。屋根については各架構が構造

的に分離されていることから、大屋根、小屋根、妻壁の3種類に分けて水平地震力を算定する。なお、高さ方向に関しては、原子炉建屋の各階の高さと大型カバーの節点の高さが異なるため、高さ毎に区分けを行った上で重量比を計算する。図5.2.1-2に大型カバーに作用させる水平地震力の概要図を示す。

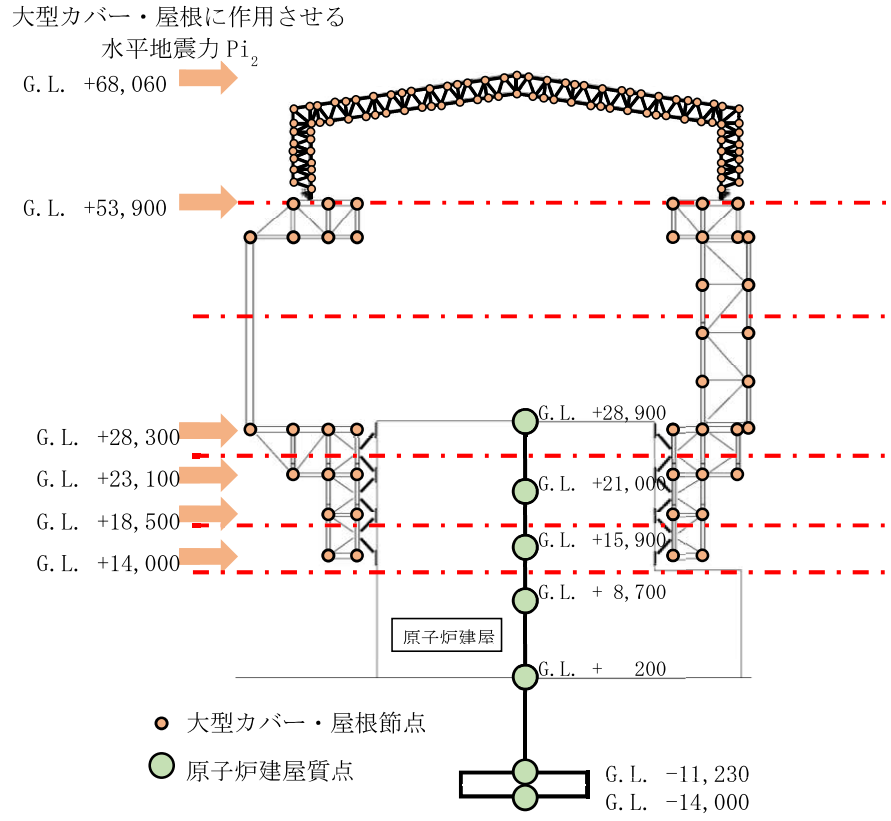
$P_{i2} = P_i \times (i \text{ 層の大型カバー (一般部又は燃料取扱設備支持部) の重量} / i \text{ 層の原子炉建屋及び大型カバーの重量})$

P_{i2} : 当該階とその直下階の大型カバー (一般部又は燃料取扱設備支持部) に作用させる水平地震荷重の差 (kN)

n=1.5とした算定結果を表5.2.1-6及び表5.2.1-7に示し、n=1.2とした算定結果を表5.2.1-8及び表5.2.1-9に示す。



原子炉建屋と大型カバー集約質点系モデル



大型カバーの解析モデル

図 5. 2. 1-2 大型カバーの水平地震力の概要図 (単位 : mm)

表 5.2.1-6(1) ガレキ撤去時の水平地震力の算定結果（大型カバー検討用）（NS 方向）

G. L. (m)		各階重量 wi (kN)	Wi (kN)	Ai	n・Ci	Qi (kN)	Pi (kN)	水平震度 ki
+68.06	大屋根	1800	—	5.473	1.314	—	2365	1.314
	小屋根	1400	—	5.283	1.268	—	1775	1.268
	妻壁	600	—	5.220	1.253	—	752	1.253
+68.06～+53.9		21050	3800	—	—	4892	20828	0.989
+53.9～+28.9		88990	24850	4.314	1.035	25720	11506	0.129
+28.9～+21.0		83750	113840	1.360	0.327	37226	18494	0.221
+21.0～+15.9		88690	197590	1.172	0.282	55720	18570	0.209
+15.9～+8.7		87240	286280	1.082	0.260	74290	15355	0.176
+8.7～+0.2		—	373520	1.000	0.240	89645	—	—

* : n=1.5 とした算定結果を示す

表 5.2.1-6(2) ガレキ撤去時の水平地震力の算定結果（大型カバー検討用）（EW 方向）

G. L. (m)		各階重量 wi (kN)	Wi (kN)	Ai	n・Ci	Qi (kN)	Pi (kN)	水平震度 ki
+68.06	大屋根	1800	—	6.617	1.589	—	2859	1.588
	小屋根	1400	—	7.115	1.707	—	2390	1.707
	妻壁	600	—	6.441	1.547	—	928	1.547
+68.06～+53.9		21050	3800	—	—	6177	20027	0.951
+53.9～+28.9		88990	24850	4.391	1.055	26204	13071	0.147
+28.9～+21.0		83750	113840	1.437	0.345	39275	17631	0.211
+21.0～+15.9		88690	197590	1.200	0.288	56906	17813	0.201
+15.9～+8.7		87240	286280	1.089	0.261	74719	14926	0.171
+8.7～+0.2		—	373520	1.000	0.240	89645	—	—

* : n=1.5 とした算定結果を示す

表 5. 2. 1-6(3) ガレキ撤去時の大型カバーの地震荷重の算定結果 (大型カバー検討用)
(NS・EW 方向)

G. L. (m)		各階重量 wi (kN)	NS 方向			EW 方向		
			Pi (kN)	屋根 一般部 Pi ₂ (kN)	燃料取扱 設備支持部 Pi ₂ (kN)	Pi (kN)	屋根 一般部 Pi ₂ (kN)	燃料取扱 設備支持部 Pi ₂ (kN)
+68.06	大屋根	1800	2400	2400	—	2900	2900	—
	小屋根	1400	1800	1800	—	2400	2400	—
	妻壁	600	800	800	—	1000	1000	—
+53.9		21050	21000	21000	—	20100	20100	—
+28.3		88990	11900	3300	600	13500	3700	700
+23.1		83750	18600	1300	300	17900	1300	300
+18.5				1000	200		1000	200
+14.0		88690	18700	1100	250	18000	1100	250

* : n=1.5 とした算定結果を示す

表 5.2.1-7(1) 燃料取り出し時の水平震度の算定結果（大型カバー検討用）（NS 方向）

G. L. (m)		各階重量 wi (kN)	Wi (kN)	Ai	n・Ci	Qi (kN)	Pi (kN)	水平震度 ki
+68.06	大屋根	1800	—	5.901	1.416	—	2549	1.416
	小屋根	1400	—	5.650	1.356	—	1898	1.356
	妻壁	600	—	5.602	1.344	—	806	1.343
+68.06～+53.9		20510	3800	—	—	5253	22023	1.074
+53.9～+28.9		137080	24310	4.678	1.122	27276	24530	0.179
+28.9～+21.0		83750	161390	1.338	0.321	51806	18427	0.220
+21.0～+15.9		88680	245140	1.191	0.287	70233	16894	0.191
+15.9～+8.7		87810	333820	1.090	0.261	87127	14064	0.160
+8.7～+0.2		—	421630	1.000	0.240	101191	—	—

* : n=1.5 とした算定結果を示す

表 5.2.1-7(2) 燃料取り出し時の水平震度の算定結果（大型カバー検討用）（EW 方向）

G. L. (m)		各階重量 wi (kN)	Wi (kN)	Ai	n・Ci	Qi (kN)	Pi (kN)	水平震度 ki
+68.06	大屋根	1800	—	6.546	1.571	—	2827	1.571
	小屋根	1400	—	5.982	1.436	—	2010	1.436
	妻壁	600	—	5.788	1.389	—	833	1.388
+68.06～+53.9		20510	3800	—	—	5670	20402	0.995
+53.9～+28.9		137080	24310	4.466	1.073	26072	27429	0.200
+28.9～+21.0		83750	161390	1.384	0.332	53501	18202	0.217
+21.0～+15.9		88680	245140	1.216	0.293	71703	16425	0.185
+15.9～+8.7		87810	333820	1.099	0.264	88128	13063	0.149
+8.7～+0.2		—	421630	1.000	0.240	101191	—	—

* : n=1.5 とした算定結果を示す

表 5. 2. 1-7(3) 燃料取り出し時の大型カバーの地震荷重の算定結果 (大型カバー検討用)

(NS・EW 方向)

G. L. (m)		各階重量 wi (kN)	NS 方向			EW 方向		
			Pi (kN)	屋根 一般部 Pi ₂ (kN)	燃料取扱 設備支持部 Pi ₂ (kN)	Pi (kN)	屋根 一般部 Pi ₂ (kN)	燃料取扱 設備支持部 Pi ₂ (kN)
+68.06	大屋根	1800	2600	2600	—	2900	2900	—
	小屋根	1400	1900	1900	—	2100	2100	—
	妻壁	600	900	900	—	900	900	—
+53.9		20510	22300	22300	—	20600	20600	—
+28.3		137080	24800	4300	900	27600	4700	1000
+23.1		83750	18600	1300	300	18400	1300	300
+18.5				1000	200		1000	200
+14.0		88680	17200	1100	250	16700	1000	250

* : n=1.5 とした算定結果を示す

表 5. 2. 1-8(1) ガレキ撤去時の水平地震力の算定結果 (天井クレーン検討用) (NS 方向)

G. L. (m)		各階重量 wi (kN)	Wi (kN)	Ai	n・Ci	Qi (kN)	Pi (kN)	水平震度 ki
+68.06	大屋根	1800	—	5.473	1.051	—	1892	1.051
	小屋根	1400	—	5.283	1.014	—	1420	1.014
	妻壁	600	—	5.220	1.002	—	601	1.002
+68.06～+53.9		21050	3800	—	—	3913	16663	0.792
+53.9～+28.9		88990	24850	4.314	0.828	20576	9205	0.103
+28.9～+21.0		83750	113840	1.360	0.262	29781	14795	0.177
+21.0～+15.9		88690	197590	1.172	0.226	44576	14856	0.168
+15.9～+8.7		87240	286280	1.082	0.208	59432	12284	0.141
+8.7～+0.2		—	373520	1.000	0.192	71716	—	—

* : n=1.2 とした算定結果を示す

表 5. 2. 1-8(2) ガレキ撤去時の水平地震力の算定結果 (天井クレーン検討用) (EW 方向)

G. L. (m)		各階重量 wi (kN)	Wi (kN)	Ai	n・Ci	Qi (kN)	Pi (kN)	水平震度 ki
+68.06	大屋根	1800	—	6.617	1.271	—	2287	1.271
	小屋根	1400	—	7.115	1.366	—	1912	1.366
	妻壁	600	—	6.441	1.237	—	742	1.237
+68.06～+53.9		21050	3800	—	—	4941	16022	0.761
+53.9～+28.9		88990	24850	4.391	0.844	20963	10457	0.118
+28.9～+21.0		83750	113840	1.437	0.276	31420	14105	0.168
+21.0～+15.9		88690	197590	1.200	0.230	45525	14250	0.161
+15.9～+8.7		87240	286280	1.089	0.209	59775	11941	0.137
+8.7～+0.2		—	373520	1.000	0.192	71716	—	—

* : n=1.2 とした算定結果を示す

表 5. 2. 1-8(3) ガレキ撤去時の大型カバーの地震荷重の算定結果 (天井クレーン検討用)

(NS・EW 方向)

G. L. (m)		各階重量 wi (kN)	NS 方向			EW 方向		
			Pi (kN)	屋根 一般部 Pi ₂ (kN)	燃料取扱 設備支持部 Pi ₂ (kN)	Pi (kN)	屋根 一般部 Pi ₂ (kN)	燃料取扱 設備支持部 Pi ₂ (kN)
+68.06	大屋根	1800	1900	1900	—	2300	2300	—
	小屋根	1400	1500	1500	—	2000	2000	—
	妻壁	600	700	700	—	800	800	—
+53.9		21050	16800	16800	—	16100	16100	—
+28.3		88990	9500	2600	500	10800	3000	500
+23.1		83750	14900	1100	200	14300	1100	200
+18.5				800	150		800	150
+14.0		88690	15100	1000	200	14400	900	200

* : n=1.2 とした算定結果を示す

表 5. 2. 1-9(1) 燃料取り出し時の水平震度の算定結果 (天井クレーン検討用) (NS 方向)

G. L. (m)		各階重量 wi (kN)	Wi (kN)	Ai	n・Ci	Qi (kN)	Pi (kN)	水平震度 ki
+68.06	大屋根	1800	—	5.901	1.133	—	2039	1.133
	小屋根	1400	—	5.650	1.085	—	1519	1.085
	妻壁	600	—	5.602	1.075	—	645	1.075
+68.06~+53.9		20510	3800	—	—	4203	17618	0.859
+53.9~+28.9		137080	24310	4.678	0.898	21821	19624	0.143
+28.9~+21.0		83750	161390	1.338	0.257	41445	14741	0.176
+21.0~+15.9		88680	245140	1.191	0.229	56186	13516	0.152
+15.9~+8.7		87810	333820	1.090	0.209	69702	11251	0.128
+8.7~+0.2		—	421630	1.000	0.192	80953	—	—

* : n=1.2 とした算定結果を示す

表 5. 2. 1-9(2) 燃料取り出し時の水平震度の算定結果 (天井クレーン検討用) (EW 方向)

G. L. (m)		各階重量 wi (kN)	Wi (kN)	Ai	n・Ci	Qi (kN)	Pi (kN)	水平震度 ki
+68.06	大屋根	1800	—	6.546	1.256	—	2262	1.257
	小屋根	1400	—	5.982	1.148	—	1608	1.149
	妻壁	600	—	5.788	1.111	—	667	1.112
+68.06~+53.9		20510	3800	—	—	4537	16321	0.796
+53.9~+28.9		137080	24310	4.466	0.858	20858	21943	0.160
+28.9~+21.0		83750	161390	1.384	0.265	42801	14562	0.174
+21.0~+15.9		88680	245140	1.216	0.234	57363	13140	0.148
+15.9~+8.7		87810	333820	1.099	0.211	70503	10450	0.119
+8.7~+0.2		—	421630	1.000	0.192	80953	—	—

* : n=1.2 とした算定結果を示す

表 5. 2. 1-9(3) 燃料取り出し時の大型カバーの地震荷重の算定結果 (天井クレーン検討用)

(NS・EW 方向)

G. L. (m)		各階重量 wi (kN)	NS 方向			EW 方向		
			Pi (kN)	屋根 一般部 Pi ₂ (kN)	燃料取扱 設備支持部 Pi ₂ (kN)	Pi (kN)	屋根 一般部 Pi ₂ (kN)	燃料取扱 設備支持部 Pi ₂ (kN)
+68.06	大屋根	1800	2100	2100	—	2300	2300	—
	小屋根	1400	1600	1600	—	1700	1700	—
	妻壁	600	700	700	—	700	700	—
+53.9		20510	17700	17700	—	16400	16400	—
+28.3		137080	20000	3500	800	22200	3900	800
+23.1		83750	14900	1100	200	14700	1100	200
+18.5				800	150		800	150
+14.0		88680	13800	900	200	13400	900	200

* : n=1.2 とした算定結果を示す

5) 荷重組合せ

設計で考慮する荷重組合せを表 5.2.1-10 に示す。また、ガレキ撤去時におけるガレキ撤去用天井クレーンの位置を図 5.2.1-3 に、燃料取り出し時における燃料取扱設備の位置を図 5.2.1-4 に示す。なお、燃料取り出し時にはガレキ撤去用天井クレーンの位置は北側とする。

表 5.2.1-10 荷重組合せ

想定する状態	荷重ケース*1	荷重組合せ内容	許容応力度
常時	C	VL	長期
積雪時*2	S	VL+SL	短期
暴風時*2	W	VL+WL	
地震時	E1	VL+K(+NS)	
	E2	VL+K(-NS)	
	E3	VL+K(+EW)	
	E4	VL+K(-EW)	

*1：ガレキ撤去時は case1 及び case2，燃料取り出し時は case3 及び case4 の状態とする。

*2：短期事象では地震時が支配的であることから、積雪時及び暴風時の検討は省略する。ただし、外装材の検討は暴風時が支配的であることから暴風時に対して検討を行う。

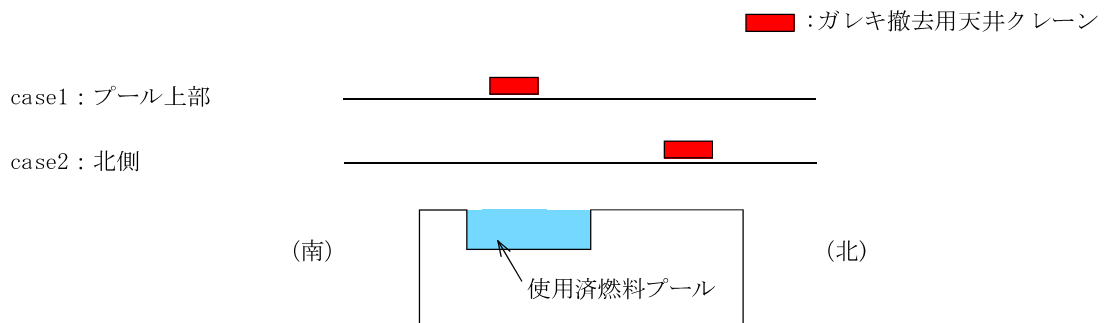
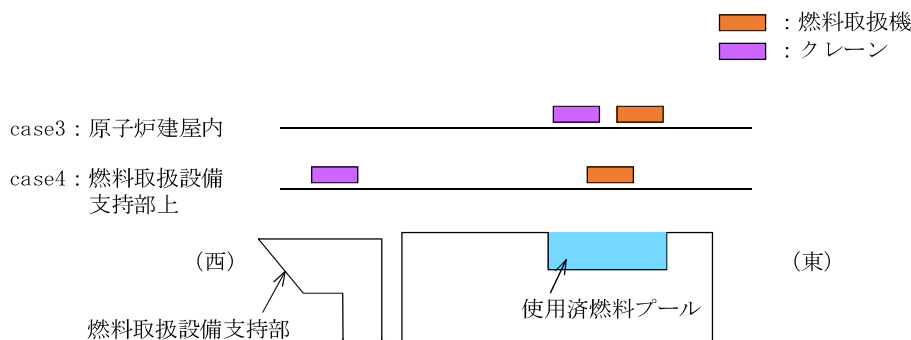


図 5.2.1-3 ガレキ撤去用天井クレーンの位置



※：原子炉建屋オペレーティングフロア上で、燃料取扱機及びクレーンを用い燃料をキャスクに入れる。その後、クレーンを用いキャスクを燃料取扱設備支持部に移動させ地上に下ろす。従って、燃料取扱機とクレーンの両方が原子炉建屋内にいるケースと燃料取扱機が原子炉建屋内、クレーンが燃料取扱設備支持部上にいるケースの2ケースとなる。

※：燃料取り出し時のガレキ撤去用天井クレーン位置は北側とする。

図 5.2.1-4 燃料取扱設備の位置

地震時と暴風時の大型カバーの層せん断力について、風荷重の受圧面積が大きい EW 方向で比較した結果を図 5.2.1-5 に示す。図 5.2.1-5 より、地震時の層せん断力は暴風時の層せん断力を包絡しており、支配的な荷重である。

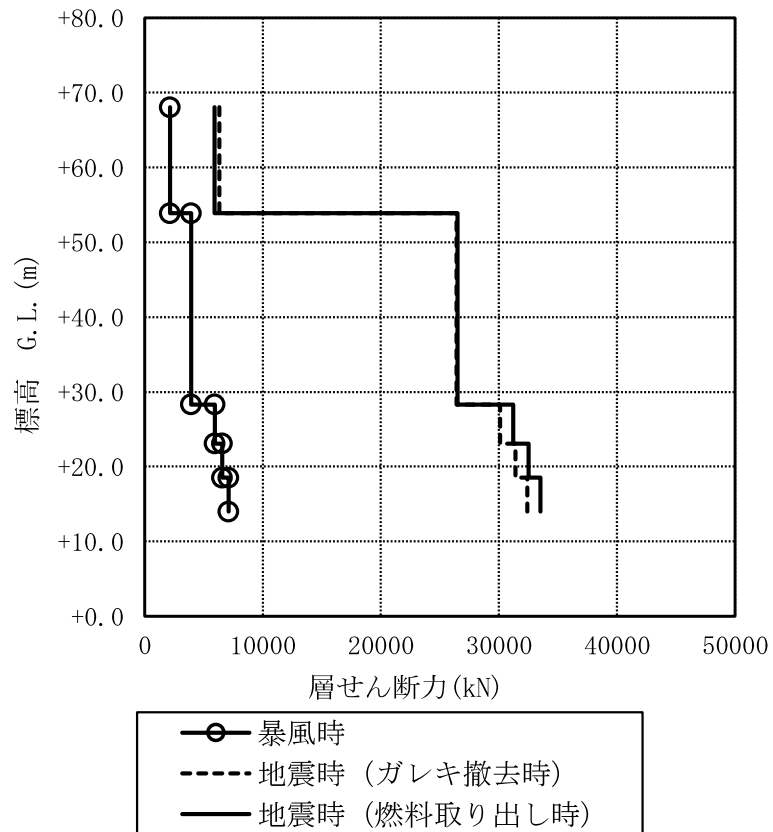


図 5.2.1-5 地震時と暴風時の層せん断力の比較 (EW 方向)

5.2.2 大型カバーの構造強度に対する検討

(1) 断面検討

1) 柱，梁，水平・鉛直ブレース

部材の応力度比は、「鋼構造設計規準」に従い，軸力に対して下式にて検討を行う。

$$\cdot \text{軸圧縮の場合} \quad \frac{\sigma_c}{f_c} \leq 1$$

$$\cdot \text{軸引張の場合} \quad \frac{\sigma_t}{f_t} \leq 1$$

ここで， σ_c : 圧縮応力度 (N/A) (N/mm²)
 σ_t : 引張応力度 (T/A) (N/mm²)
N : 圧縮力(N)， T : 引張力(N)， A : 断面積(mm²)
 f_c : 許容圧縮応力度(N/mm²)
 f_t : 許容引張応力度(N/mm²)

2) 大型カバー頂部鋼板部

応力度比の検討は、「鋼構造設計規準」に従い，面内力に対し下式にて検討を行う。

$$\cdot \text{組合せ応力の場合} \quad \frac{\sigma_x^2 + \sigma_y^2 - \sigma_x \cdot \sigma_y + 3\tau_{xy}^2}{f_t^2} \leq 1$$

ここで， σ_x : X方向圧縮応力度 (N_x/A) (N/mm²)
 σ_y : Y方向圧縮応力度 (N_y/A) (N/mm²)
N_x : X方向面内力(N)， N_y : Y方向面内力(N)， A : 断面積(mm²)
 τ_{xy} : せん断応力度 (N_{xy}/A_s) (N/mm²)
N_{xy} : 面内せん断力(N)， A_s : せん断断面積(mm²)
 f_t : 許容引張応力度(N/mm²)

3) ガレキ撤去時

表 5. 2. 2-1 及び表 5. 2. 2-2 に応力度比が最大となる部位の断面検討結果を示す。
断面検討の結果、全ての部材に対する応力度比が 1 以下になることを確認した。

表 5. 2. 2-1(1) 断面検討結果（一般部，常時）上部架構

部位*1	部材形状 (mm) 〈使用材料*2〉	荷重 ケース (位置)*3	作用 応力度 (N/mm ²)		許容 応力度 (N/mm ²)		応力 度比	判定	
			σ_c		f_c				
①	柱	H-400×400×13×21	C (case1)	σ_c	96.1	f_c	170.9	0.57	O. K.
②	梁	B[-300×220×16×25	C (case1)	σ_t	47.8	f_t	216.6	0.23	O. K.
③	鉛直 ブレース	ϕ -267.4×6.6	C (case2)	σ_c	61.6	f_c	173.0	0.36	O. K.
④	鋼板	PL-16 〈SN400B〉	C (case1)	σ_x	1.9	f_t	156.0	0.31	O. K.
				σ_y	4.1				
				τ_{xy}	27.2				

表 5. 2. 2-1(2) 断面検討結果（一般部，常時）下部架構

部位*1	部材形状 (mm) 〈使用材料*2〉	荷重 ケース (位置)*3	作用 応力度 (N/mm ²)		許容 応力度 (N/mm ²)		応力 度比	判定	
			σ_c		f_c				
⑤	柱	H-400×400×13×21	C (case2)	σ_c	102.4	f_c	202.7	0.51	O. K.
⑥	梁	H-588×300×12×20	C (case1)	σ_c	52.9	f_c	201.1	0.27	O. K.
⑦	鉛直 ブレース	ϕ -267.4×6.6	C (case1)	σ_c	153.7	f_c	203.0	0.76	O. K.
⑧	接続部 水平ブレース	十字 PL (PL-28×210 +2PL-28×91)	C (case1)	σ_c	110.8	f_c	187.5	0.60	O. K.
⑨	接続部 鉛直ブレース	十字 PL (PL-28×210 +2PL-28×91)	C (case2)	σ_c	123.6	f_c	197.7	0.63	O. K.

表 5. 2. 2-1(3) 断面検討結果 (燃料取扱設備支持部, 常時)

部位*1		部材形状 (mm) 〈使用材料*2〉	荷重 ケース (位置)*3	作用 応力度 (N/mm ²)		許容 応力度 (N/mm ²)		応力 度比	判定
⑩	柱	H-400×400×13×21	C (case1)	σ_c	15.1	f_c	183.1	0.09	O.K.
⑪	梁	H-800×300×14×26	C (case1)	σ_c	20.3	f_c	175.8	0.12	O.K.
⑫	水平 ブレース	十字 PL (PL-28×210 +2PL-28×91)	C (case1)	σ_t	40.8	f_t	216.6	0.19	O.K.
⑬	鉛直 ブレース	ϕ -355.6×7.9	C (case1)	σ_c	58.7	f_c	207.7	0.29	O.K.

*1 : ⑩~⑬の符号は図 5. 2. 2-1 の応力検討箇所を示す

*2 : 各部材の使用材料は, 特記なき限り, 鋼管 : STKN490B, その他 SN490B

*3 : 図 5. 2. 1-3 にガレキ撤去用天井クレーンの位置を示す

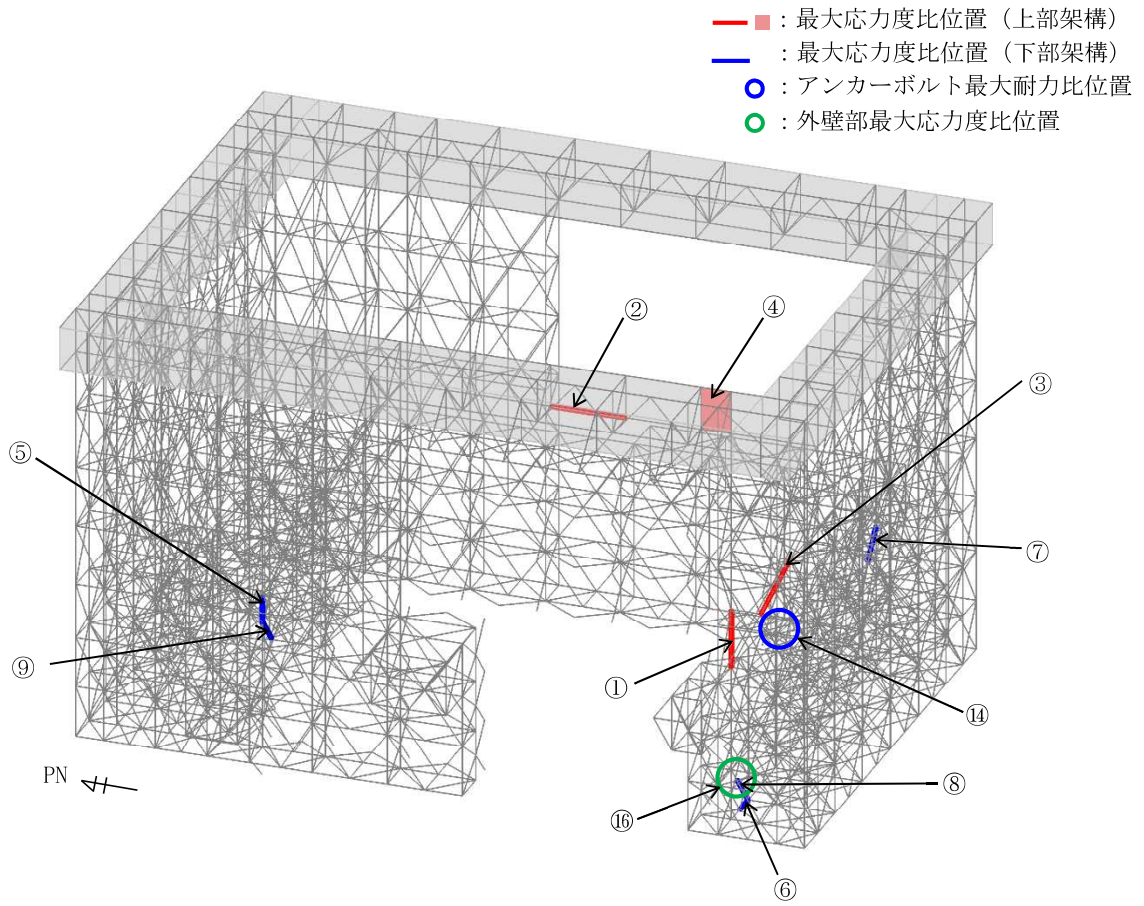


図 5. 2. 2-1 (1) 最大応力度比位置図(一般部, 常時)

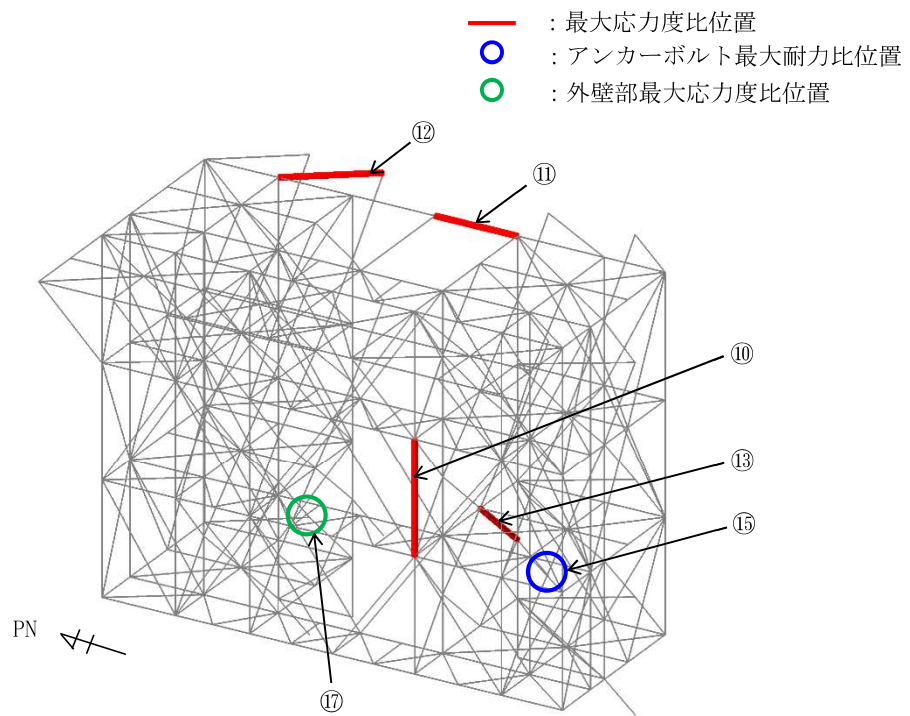


図 5. 2. 2-1 (2) 最大応力度比位置図(燃料取扱設備支持部, 常時)

表 5. 2. 2-2(1) 断面検討結果（一般部，地震時）上部架構

部位*1	部材形状 (mm) 〈使用材料*2〉	荷重 ケース (位置)*3	作用 応力度 (N/mm ²)		許容 応力度 (N/mm ²)		応力 度比	判定
			σ_c		f_c			
①	柱 H-400×400×13×21	E4 (case1)	σ_c	142.0	f_c	256.4	0.56	O. K.
②	梁 B[-300×220×16×25]	E1 (case1)	σ_c	85.4	f_c	269.9	0.32	O. K.
③	鉛直 ブレース ϕ -355.6×9.5	E1 (case1)	σ_c	259.5	f_c	282.0	0.93	O. K.
④	鋼板 PL-16 〈SN400B〉	E2 (case1)	σ_x	1.9	f_t	235.0	0.35	O. K.
			σ_y	9.2				
			τ_{xy}	46.9				

表 5. 2. 2-2(2) 断面検討結果（一般部，地震時）下部架構

部位*1	部材形状 (mm) 〈使用材料*2〉	荷重 ケース (位置)*3	作用 応力度 (N/mm ²)		許容 応力度 (N/mm ²)		応力 度比	判定
			σ_c		f_c			
⑤	柱 H-400×400×13×21	E1 (case2)	σ_c	179.6	f_c	304.1	0.60	O. K.
⑥	梁 H-588×300×12×20	E4 (case1)	σ_c	136.9	f_c	301.6	0.46	O. K.
⑦	鉛直 ブレース ϕ -267.4×6.6	E1 (case2)	σ_t	301.3	f_t	325.0	0.93	O. K.
⑧	接続部 水平ブレース 十字 PL (PL-28×210 +2PL-28×91)	E4 (case2)	σ_t	306.2	f_t	325.0	0.95	O. K.
⑨	接続部 鉛直ブレース 十字 PL (PL-28×210 +2PL-28×91)	E1 (case2)	σ_c	266.8	f_c	297.4	0.90	O. K.

表 5. 2. 2-2(3) 断面検討結果 (燃料取扱設備支持部, 地震時)

部位*1		部材形状 (mm) 〈使用材料*2〉	荷重 ケース (位置)*3	作用 応力度 (N/mm ²)		許容 応力度 (N/mm ²)		応力 度比	判定
⑩	柱	H-400×400×13×21	E4 (case1)	σ_c	15.9	f_c	274.7	0.06	O. K.
⑪	梁	H-800×300×14×26	E4 (case1)	σ_c	23.5	f_c	263.7	0.09	O. K.
⑫	水平 ブレース	十字 PL (PL-28×210 +2PL-28×91)	E1 (case1)	σ_t	56.0	f_t	325.0	0.18	O. K.
⑬	鉛直 ブレース	ϕ -355.6×7.9	E1 (case1)	σ_c	68.4	f_c	311.5	0.22	O. K.

*1 : ⑩~⑬の符号は図 5. 2. 2-2 の応力検討箇所を示す

*2 : 各部材の使用材料は, 特記なき限り, 鋼管 : STKN490B, その他 SN490B

*3 : 図 5. 2. 1-3 にガレキ撤去用天井クレーンの位置を示す

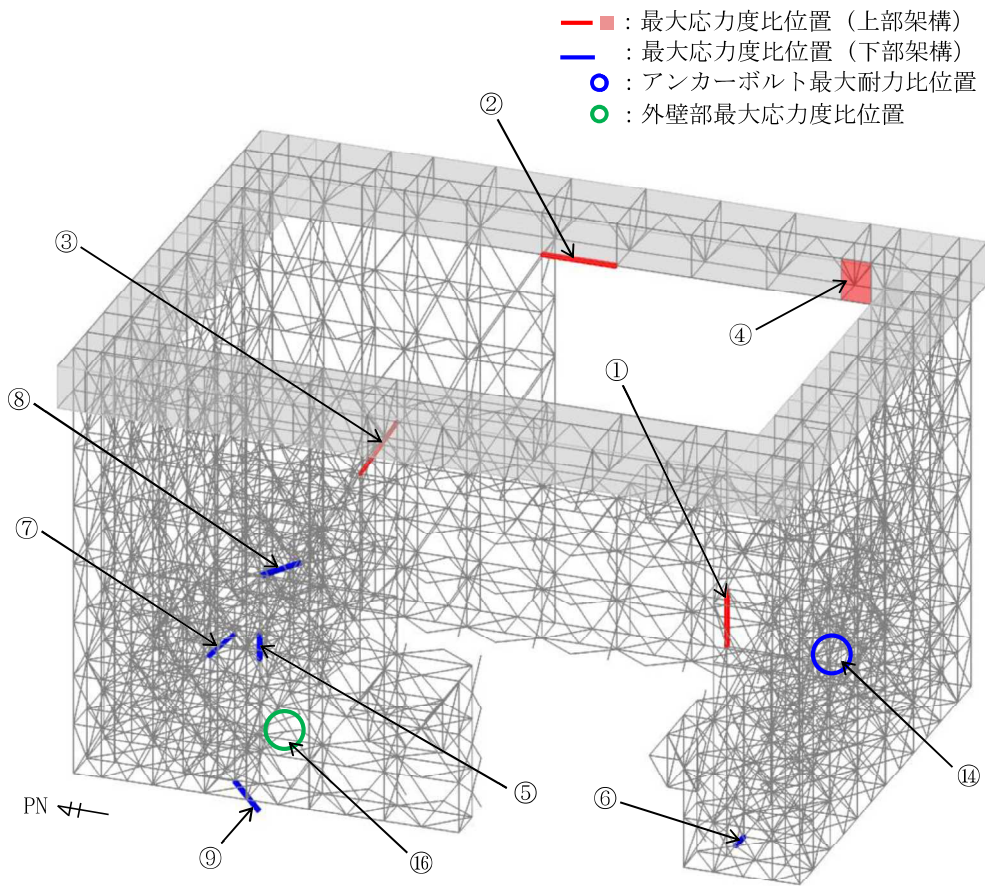


図 5. 2. 2-2(1) 最大応力度比位置図(一般部, 地震時)

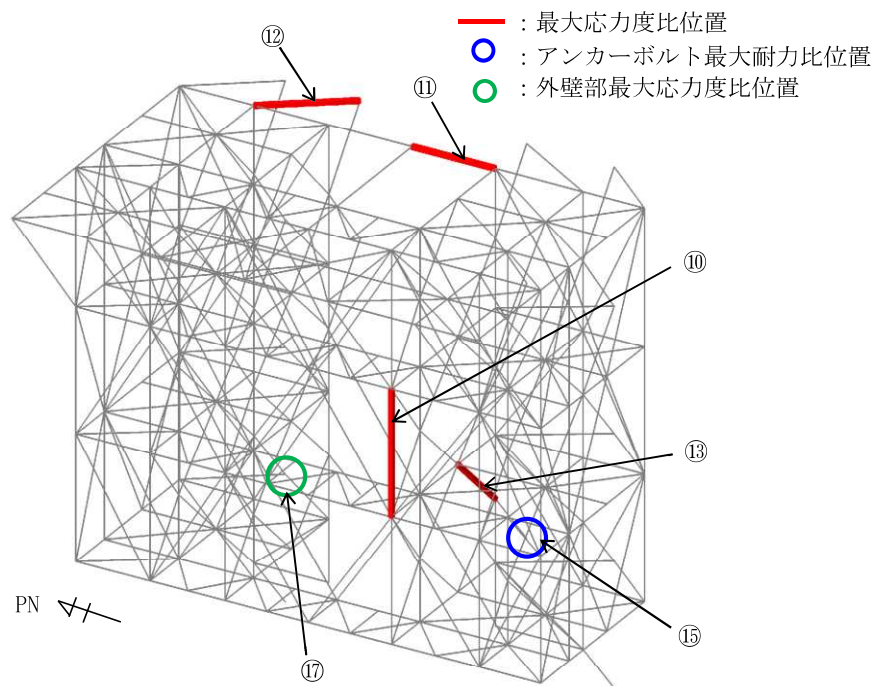


図 5. 2. 2-2(2) 最大応力度比位置図(燃料取扱設備支持部, 地震時)

4) 燃料取り出し時

表 5. 2. 2-3 及び表 5. 2. 2-4 に応力度比が最大となる部位の断面検討結果を示す。
断面検討の結果、全ての部材に対する応力度比が 1 以下になることを確認した。

表 5. 2. 2-3(1) 断面検討結果（一般部，常時）上部架構

部位*1		部材形状 (mm) 〈使用材料*2〉	荷重 ケース (位置)*3	作用 応力度 (N/mm ²)		許容 応力度 (N/mm ²)		応力 度比	判定
①	柱	H-400×400×13×21	C (case4)	σ_c	68.8	f_c	170.9	0.41	O. K.
②	梁	B[-300×220×16×25	C (case4)	σ_c	17.9	f_c	179.9	0.10	O. K.
③	鉛直 ブレース	ϕ -267.4×6.6	C (case4)	σ_c	57.0	f_c	173.0	0.33	O. K.
④	鋼板	PL-16 〈SN400B〉	C (case4)	σ_x	0.0	f_t	156.0	0.17	O. K.
				σ_y	9.5				
				τ_{xy}	13.8				

表 5. 2. 2-3(2) 断面検討結果（一般部，常時）下部架構

部位*1		部材形状 (mm) 〈使用材料*2〉	荷重 ケース (位置)*3	作用 応力度 (N/mm ²)		許容 応力度 (N/mm ²)		応力 度比	判定
⑤	柱	H-400×400×13×21	C (case4)	σ_c	93.1	f_c	202.7	0.46	O. K.
⑥	梁	H-350×350×12×19	C (case4)	σ_c	49.5	f_c	183.8	0.27	O. K.
⑦	鉛直 ブレース	ϕ -267.4×6.6	C (case4)	σ_c	122.8	f_c	196.2	0.63	O. K.
⑧	接続部 水平ブレース	十字 PL (PL-28×210 +2PL-28×91)	C (case4)	σ_c	90.1	f_c	187.5	0.49	O. K.
⑨	接続部 鉛直ブレース	十字 PL (PL-28×210 +2PL-28×91)	C (case4)	σ_c	112.4	f_c	197.7	0.57	O. K.

表 5. 2. 2-3(3) 断面検討結果 (燃料取扱設備支持部, 常時)

部位*1	部材形状 (mm) <使用材料*2>	荷重 ケース (位置)*3	作用 応力度 (N/mm ²)		許容 応力度 (N/mm ²)		応力 度比	判定	
			σ_c		f_c				
⑩	柱	H-400×400×13×21	C (case4)	σ_c	34.7	f_c	202.7	0.18	O. K.
⑪	梁	H-350×350×12×19	C (case4)	σ_c	29.1	f_c	201.5	0.15	O. K.
⑫	水平 ブレース	十字 PL (PL-28×210 +2PL-28×91)	C (case4)	σ_t	42.9	f_t	216.6	0.20	O. K.
⑬	鉛直 ブレース	ϕ -355.6×7.9	C (case4)	σ_c	93.6	f_c	207.7	0.46	O. K.

*1 : ⑩~⑬の符号は図 5. 2. 2-3 の応力検討箇所を示す

*2 : 各部材の使用材料は, 特記なき限り, 鋼管 : STKN490B, その他 SN490B

*3 : 図 5. 2. 1-4 に燃料取扱設備の位置を示す

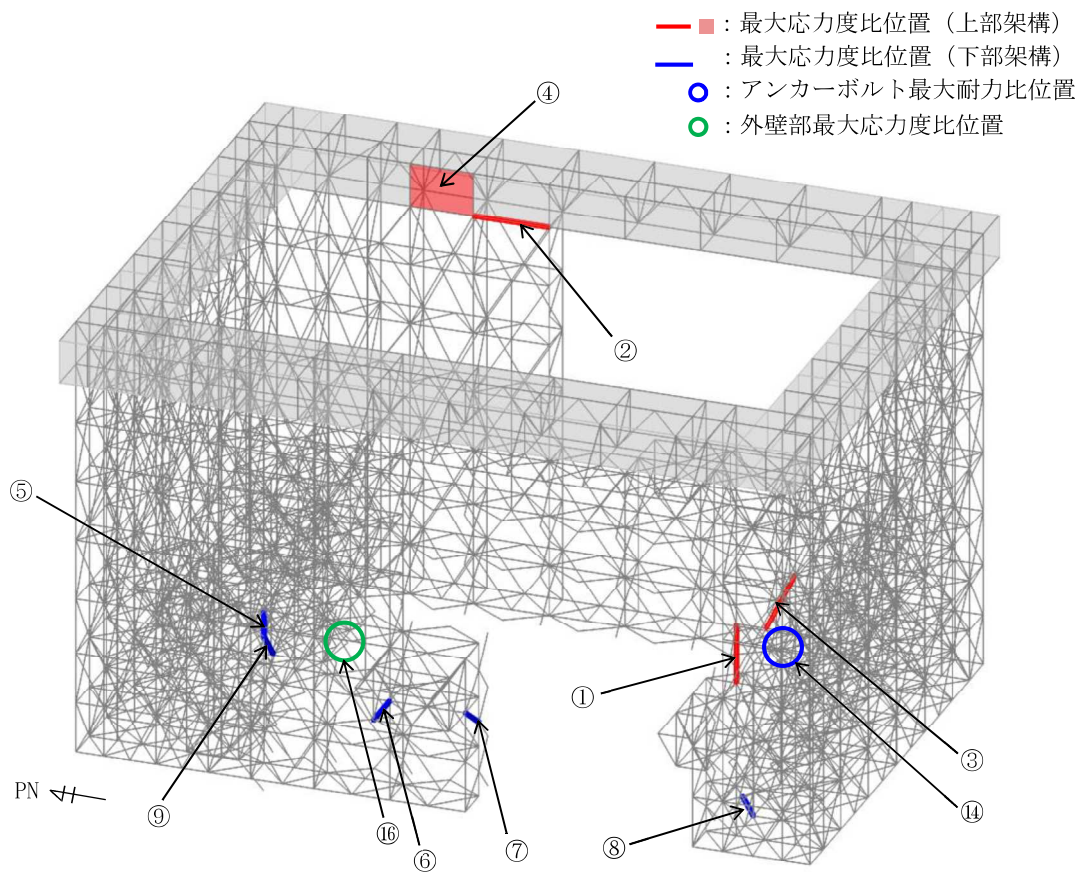


図 5. 2. 2-3(1) 最大応力度比位置図(一般部, 常時)

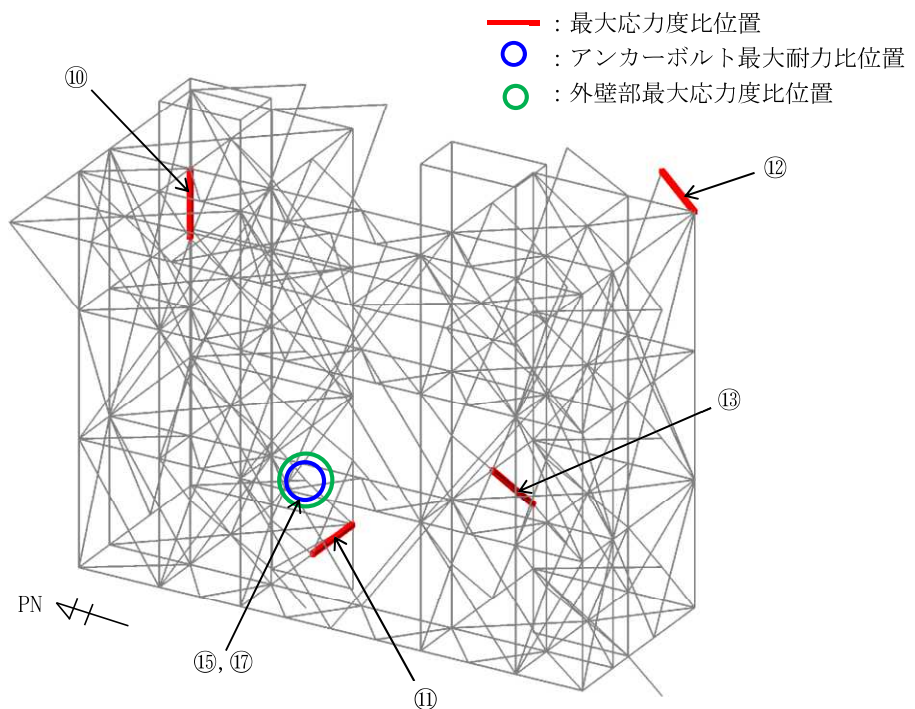


図 5. 2. 2-3(2) 最大応力度比位置図(燃料取扱設備支持部, 常時)

表 5. 2. 2-4(1) 断面検討結果 (一般部, 地震時) 上部架構

部位*1	部材形状 (mm) 〈使用材料*2〉	荷重 ケース (位置)*3	作用 応力度 (N/mm ²)		許容 応力度 (N/mm ²)		応力 度比	判定
			σ_c		f_c			
①	柱 H-400×400×13×21	E2 (case4)	σ_c	136.8	f_c	256.4	0.54	O. K.
②	梁 B[-300×220×16×25	E1 (case4)	σ_c	67.5	f_c	269.9	0.26	O. K.
③	鉛直 ブレース ϕ -355.6×9.5	E1 (case4)	σ_c	245.5	f_c	282.0	0.88	O. K.
④	鋼板 PL-16 〈SN400B〉	E4 (case4)	σ_x	28.0	f_t	235.0	0.33	O. K.
			σ_y	9.1				
			τ_{xy}	41.6				

表 5. 2. 2-4(2) 断面検討結果 (一般部, 地震時) 下部架構

部位*1	部材形状 (mm) 〈使用材料*2〉	荷重 ケース (位置)*3	作用 応力度 (N/mm ²)		許容 応力度 (N/mm ²)		応力 度比	判定
			σ_c		f_c			
⑤	柱 H-400×400×13×21	E1 (case4)	σ_c	176.0	f_c	304.1	0.58	O. K.
⑥	梁 H-588×300×12×20	E1 (case4)	σ_t	138.0	f_t	325.0	0.43	O. K.
⑦	鉛直 ブレース ϕ -267.4×6.6	E1 (case4)	σ_t	298.9	f_t	325.0	0.92	O. K.
⑧	接続部 水平ブレース 十字 PL (PL-28×210 +2PL-28×91)	E4 (case4)	σ_t	298.8	f_t	325.0	0.92	O. K.
⑨	接続部 鉛直ブレース 十字 PL (PL-28×210 +2PL-28×91)	E2 (case4)	σ_c	269.3	f_c	296.6	0.91	O. K.